

KORROSIE VAN VER- GASSERKONSTRUKSIEMAT- ERIALE IN KONTAK MET ETANOL-PETROL-BRAND- STOFMENGSELS

VILJOEN H.J.

MING UP 82

KORROSIE VAN VERGASSERKONSTRUKSIEMATERIALE

IN KONTAK MET

ETANOL-PETROL-BRANDSTOFMENGSELS

HENDRIK JACOBUS VILJOEN

VOORGELEË TER VERVULLING VAN 'N DEEL VAN DIE

VEREISTES VIR DIE GRAAD

MING (CHEMIES)

IN DIE

FAKULTEIT INGENIEURSWESE
UNIVERSITEIT VAN PRETORIA
PRETORIA

OKTOBER 1981

i. .

SAMEVATTING

Dit is bekend dat aluminiumallooie wat meer as 4,5% koper bevat korrosieprobleme ondervind wanneer dit in kontak met enkelfasige petrol-alkoholmengsels is, mits die temperatuur hoër as 60°C is.

Hierdie ondersoek het getoon dat ernstige korrosieprobleme hul ook met aluminiumallooie in kontak met petrol-alkoholmengsels voordoen, wanneer 'n aqua-fase as tweede fase uitskei. 'n Aqua-fase skei uit wanneer die waterinhoud die maksimum watertoleransie van die petrol-alkoholmengsel vir die heersende bedryfstoestande oorskry. Korrosietempo's is onder meer 'n funksie van bimetaalkoppeling aan koperlegerings en die teenwoordigheid van isobutanol en chloried.

Voorsorgmaatreëls behels eerstens die beperking van wateropname deur die petrol-alkoholmengsel. Verder kan gesikte stremmiddels soos bensotriasisol en Preventol CI-2 ('n Bayer-produk) wat korrosie in die aqua-fase beperk, gebruik word.

ii/...

ii.

SYNOPSIS

Aluminium alloys, containing 4,5% Cu or more, are subject to corrosion when in contact with petrol-alcohol mixtures at temperatures of 60°C and higher.

Aluminium alloys are also subject to serious corrosion when they are in contact with the aqueous phase of petrol-alcohol mixtures. Copper content and the temperature are important parameters, but are not prerequisites for a corrosion system. Phase separation occurs when the water content exceeds the maximum water tolerance of the petrol-alcohol mixture for prevailing conditions. Corrosion rates are determined by the bimetallic coupling to copper alloys, and by the presence of isobuthanol and chlorides.

Phase separation of fuels must be prevented by effectively limiting water content. Suitable corrosion inhibitors like benzotriazole and Preventol CI-2 (Bayer product) can be added to reduce corrosion in the aqueous phase.

iii/...

iii.

ERKENNING

Die skrywer wil mnr W Skinner bedank vir sy waardevolle raad en leiding, waarsonder die ondersoek nie sou geslaag het nie.

Die skrywer wil ook Krygkor bedank vir finansiële steun, Metal Sales Co vir die verskaffing van monsters en Bayer Chemical Products vir die voorsiening van sommige van die stremmiddels.

I N H O U D

1.	<u>OPSOMMING</u>	...1
2.	<u>TEORIE EN LITERATUROORSIG</u>	...4
2.1	Die teorie van meerfasige sisteme	...4
2.2	Literatuuroorsig van petrol-alkohol-sisteme	...6
2.3	Elektrochemiese en chemiese reaksies	...8
2.4	Die meganisme van die elektrochemiese reaksie Al-Etanol-Water	...9
2.5	Die chemiese reaksie tussen aluminium-allooie en etanol	..13
2.6	Polarisasiediagramme	..14
2.7	Die teorie van bimetaalkorrosie	..18
2.8	Die teorie van stremmiddels	..21
2.9	Literatuuroorsig van moontlike geskikte stremmiddels	..24
3.	<u>APPARAAT</u>	..28
3.1	Watertoleransie	..28
3.2	Korrosie	..29
3.3	Ekstraksie	..33
4.	<u>EKSPERIMENTELE PROSEDURE</u>	
4.1	Watertoleransie	..34
4.2	Sisteemanalise	..35
4.3	Opstelling	..39
4.4	Ekstraksie	..41

5.	<u>RESULTATE</u>	.. 42
5.1	Watertoleransie	.. 42
5.2	Mediumanalises	.. 43
5.3	Massaverliestotoetse	.. 43
5.4	Polarisasieondersoek van aluminium in aqua-fase	.. 46
5.5	Polarisasieondersoek van geelkoper in die belugte sisteem	.. 53
5.6	Die bimetaalkoppeling van geelkoper en aluminium	.. 56
5.7	Stremmiddels	.. 57
5.8	Ekstraksievermoë van stremmiddels	.. 64
6.	<u>BESPREKING</u>	.. 65
6.1	Watertoleransie	.. 65
6.2	Massaverliestotoetse	.. 67
6.3	Invloed van die hoeveelheid alkohol in die aqua-fase	.. 70
6.4	Tydstudie	.. 70
6.5	Korrosiemeganisme van die vergasser	.. 71
6.6	Stremmiddels	.. 73
7.	<u>GEVOLGTREKKINGS</u>	.. 74
8.	<u>VERWYSINGS</u>	.. 75
9.	<u>BYLAE</u>	.. 78
9.1	Standaardisasie van die potensiostaat	.. 78
9.2	Aansuiwering van die medium vir die die polarisasieondersoek	.. 79

vi.

9.3 Bepaling van die aqua-fase samestelling met behulp van 'n gaschromatograaf ..	81
9.4 Foto van gekorrodeerde vergasser- onderdeel ..	82
9.5 Foto 1 : Aluminium blootgestel aan Krygkor-brandstof ..	83
Foto 2 : Aluminium blootgestel aan Krygkor-brandstof se aqua-fase	
9.6 Die meting van pH in organiese media ..	84
9.7 Foto 1 : Geelkoper blootgestel aan etanol-water ..	86
Foto 2 : Geelkoper blootgestel aan etanol-water versadig met NaCl	

1/...

1.

1. OPSUMMING

In 1979 het Krygkor, as 'n eksperiment, 'n brandstof van 85 persent petrol (Sasol) en 15 persent alkohol, vir sommige van die motors gebruik.

Daar is in Julie 1979 begin met die eksperiment en in November van dieselfde jaar het verskeie van die motors reeds probleme getoon. Die motors het moeilik aangesit en dikwels het stollings voorgekom. 'n Ondersoek het getoon dat 'n waterige tweede fase in een van die petroletanks teenwoordig was. Die motor se vergasser was gekorrodeer. Dit was die aluminiumdele wat in kontak met die geelkoper was, wat erg geaffekteer was.

Die korrosiemeganisme(s) is bepaal met behulp van massaverliestoetse en polarisasiendiagramme. Die brandstof self het by 25°C geen nadelige invloed op aluminium nie. 'n Aqua-fase, wat uitskei, is die aggressiewe medium wat die elektrochemiese reaksies onderhou.

Alkohol-petrolmengsels se watertoleransie word deur die temperatuur, die hoeveelheid en tipe alkohol en die hoeveelheid aromatiese verbindings in die petrol, bepaal. Wanneer die limiet van watertoleransie oorskry word, skei die brandstof 'n aqua-fase uit wat baie van die alkohole en al die water bevat.

2.

Aluminium wat in kontak is met die aqua-fase, ondergaan uniforme korrosie. Die katodiese reaksie is die suurstofreaksie en die aluminium vorm aluminiumalkoksiede wat hidroliseer in die teenwoordigheid van water om aluminiumhidroksiede te vorm. Hierdie korrosietempo's is tipies 20 - 35 μm per jaar.

Die aluminium is egter in kontak met geelkoper (Bylaag 9.4). 'n Bimetaalkoppel ontstaan; die geelkoper onderhou die suurstof katodiese reaksie en die aluminium anodiese reaksie se tempo is tipies 60 - 90 μm per jaar.

Die teenwoordigheid van hoër alkohole soos isobutanol en verlaagde pH lei tot hoër korrosietempos. Die aluminium se passiveringsvermoë word verswak.

Die gebruik van stremmiddels vir korrosiebeperking is ondersoek. Stremmiddels wat goeie resultate getoon het, was bensotriasisol en Preventol CI-2. Die korrosietempo's van aluminium gekoppel aan geelkoper, was nou 21,2 μmpj en 13,8 μmpj respektiewelik.

Preventol CI-2 en bensotriasisol kos in die orde van R3 per kg. Dit sal 'n verhoging in die bestaande brandstofprys van 0,26 c/liter meebring.

Tot tyd en wyl hierdie middels bygevoeg word, moet voorsorg getref word om die opname van water deur die petrol-alkoholmengsel te alle tye te vermy.

3/...

3.

Anhidriese stoor- en vervoergeriewe moet verseker word.
Vermy ook aanvulling met laer of geen alkoholbevattende
brandstowwe. (Dit verlaag die watertoleransielimiet van
die brandstof).

4/...

2. TEORIE EN LITERATUROORSIG

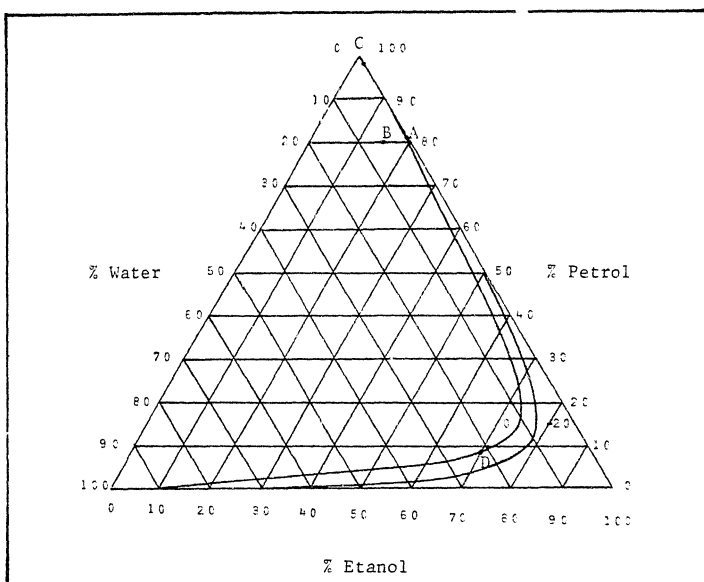
2.1 Die teorie van meerfasige sisteme

Ewesigsamestellings van 'n drie-komponent sisteem kan op 'n ternêre diagram voorgestel word. Wanneer hierdie sisteem onder sekere toestande tweefasig word, word die fasegebiede met 'n lyn aangedui. In figuur 2.1 word 'n ternêre diagram van die sisteem etanol-water-petrol by 0°C en -20°C getoon.^{c)}

Aangesien petrol nie 'n unieke samestelling het nie, word bogenoemde diagram as voorbeeld getoon. Verder word petrol beskou asof dit slegs uit een komponent bestaan. Indien 'n brandstofmengsel van 80% petrol en 20% alkohol berei sou word (geen water nie), word die samestelling deur punt A aangedui. Punt A lê feitlik op die ewewigslyn. Die petrol-alkoholmengsel kan dus slegs 'n geringe hoeveelheid water in die organiese fase hou.

Indien 'n mengsel van 85% petrol, 15% etanol en 5% water berei sou word (punt B) val die ewewigsamestelling in die tweefasige gebied. Daar vind faseskeiding plaas en twee fases met samestellings C (organiese fase) en D (aqua-fase) resulteer.

5.



Figuur 2.1 : Ternêre diagram petrol-ethanol-water (vol %)

Die posisie van die faseskeidingslyn word bepaal deur :

- temperatuur
- samestelling van die petrol
- tipe alkohol

Die samestelling van punt D is 68% etanol en 24% water (massabasis). Hierdie fase se volume is dus meer as die volume water wat oorspronklik toegevoeg is en die digtheid is cok kleiner as water s'n. Dit kan dus as 'n emulsie in die brandstof opgeneem word. Verder los vuilighed en sediment op, wat via latere presipitasie verstopping in die vergasser kan veroorsaak.¹¹⁾ Dit kan dus ook geredelik in die vergasserakkumuleer.

'n Aqua-fase in die vergasser skep toestande vir die voorkoms van 'n elektrochemiese korrosiereaksie.

6 / ...

2.2 Literatuuroorsig van petrol-alkoholsisteme

Cox⁶⁾ onderskei vier fisiese veranderings van 'n brandstofsisteem tydens vermenging met alkohol, naamlik watertoleransie, dampdrukke, distillasie karakteristieke en oktaangehalte.

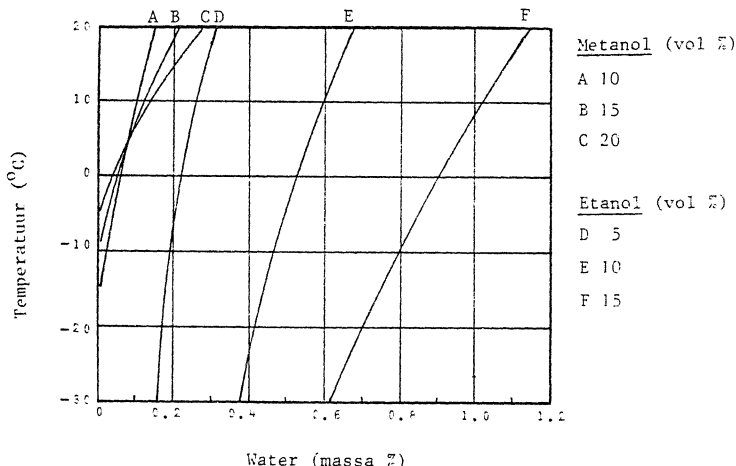
In figuur 2.2 word die invloed van variënde waterkonsentrasies op die faseskeidingstemperatuur getoon.¹¹⁾ Bridgeman et al¹⁰⁾ het watertoleransie ondersoeke vir drie-en-twintig brandstowwe gedoen. Vir 'n konstante etanol-petrol verhouding is gevind :

$$\log S = a + b/T$$

a, b = konstantes

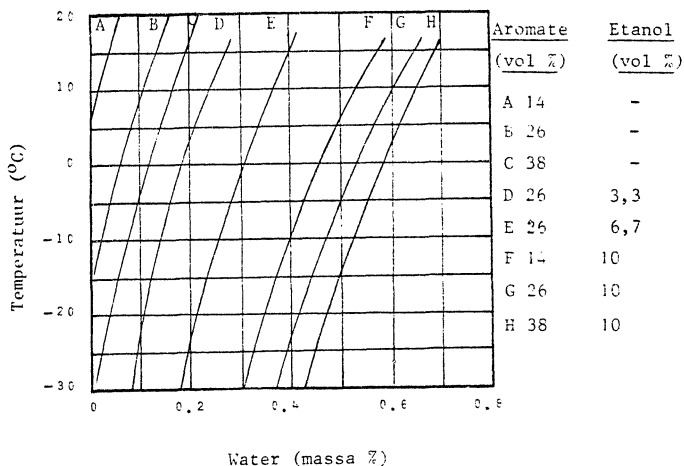
S = water as volume persentasie

T = faseskeidingstemperatuur in Kelvin



Figuur 2.2 : Watertoleransies van petrol-alkoholmengsels.

Keller¹¹⁾ het die invloed van die brandstofsamestelling op die faseskeidingstemperatuur bepaal (figuur 2.3).



Figuur 2.3 : Die invloed van brandstofsamestelling op die faseskeidingstemperatuur.

'n Algemene verskynsel is die snyding van die lyne van konstante etanol-petrol verhouding, waar watertoleransie afneem met toenemende alkoholinhoud by lae temperatuur.

Die American Automobile Association⁹⁾ het blootstellingstoetse met 'n brandstofmengsel van 90% petrol en 10% etanol gedoen. Die relatiewe humiditeit was 47% en die omgewingstemperatuur was 28°C . Daar is gevind dat genoegsaam vog vanuit die atmosfeer geabsorbeer word, om 'n mengsel van etanol en water uit te skei.

Bauer et al¹²⁾ het die waterabsorbsie van verskillende alkohol-petrolmengsels met die van etanol vergelyk.

8.

In tabel 1 word van die resultate getoon. Die omgewingstemperatuur was 25°C en die relatiewe humiditeit was 100%.

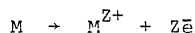
Tipe mengsel	Etanol (vol %)	Massa water (gram / 100cc mengsel na 1 dag 5 dae)		Tydsduur vir fase- skeiding (dae)
		1 dag	5 dae	
Vorstandard=benzin	10	0,41	-	3
Vorstandard=benzin	20	0,31	-	4
Vorstandard=benzin/bensol	10	0,33	0,52	11
Zol Vorstand=dardbenzin/bensol	20	0,28	0,78	12
Leuna-benzin	10	0,29	-	4
Leuna-benzin	20	0,24	0,61	7
Etanol	100	1,1	3,0	

Tabel 1: Waterabsorbsie van alkohol-petrolmengsels

2.3 Elektrochemiese en chemiese reaksies

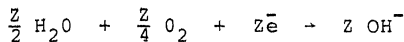
Habashi¹⁹⁾ onderskei tussen 'n elektrochemiese en 'n chemiese reaksie as volg :

'n Elektrochemiese reaksie behels twee oorgangstoestande, naamlik 'n anode toestand;



9 / ...

en 'n katode toestand, byvoorbeeld



Elektrongeleiding vind in die metaal plaas en ion=geleiding in die elektroliet waarmee die metaal in kontak is. Wanneer die anodiese en katodiese stappe gelyktydig plaasvind op afstande kleiner as een metaal=atoomdiameter, is die reaksie chemies.

Organiese oplossings is swak of geen elektroliete nie. Die reaksie van sulke oplossings met metale is meestal chemies. Neufeld et al⁴⁾ het gevind dat aluminium en anhidriese fenol volgens 'n chemiese reaksiemeganisme reageer. In 'n waterige oplossing van etanol en water vind 'n elektrochemiese reaksie met aluminium plaas⁵⁾.

2.4 Die meganisme van die elektrochemiese reaksie

Al-Etanol-Water

Die volgende stappe word onderskei.

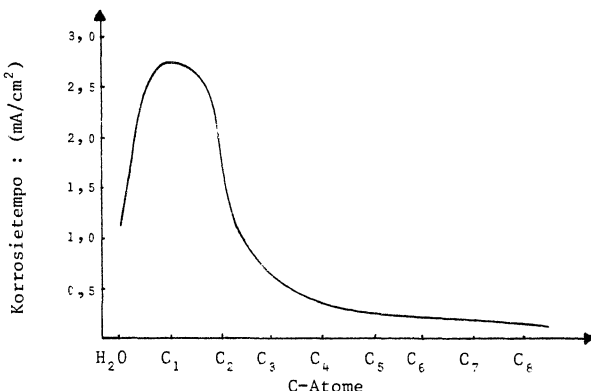
- i) Beweging van oksiderende spesies na die metaal/
medium tussenvvlak
- ii) Reaksies op die tussenvvlak
- iii) Beweging van reaksieprodukte van die tussenvvlak af

Stappe i) en iii) is diffusieprosesse. Die kinematisiese viskositeit en die diffusiekoëffisiënte van die diffunderende spesies bepaal die tempo's van hierdie prosesse.

10.

In alkohol media is die waterstofioon gesolveerd.

Indien die katodiese reaksie diffusiebeheerd is, word dit dikwels toegeskryf aan die grootte van die gesol= veerde aggregaat. In figuur 2.4 word die afname in die korrosietempo met toename in alkoholkettinglengte getoon.³⁾



Figuur 2.4 : Korrosietempo vs kettinglengte var die primêre alkohole.

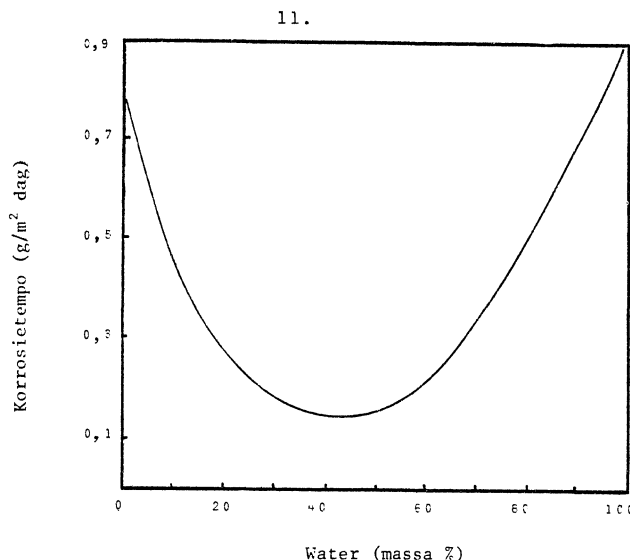
Die oplosbaarheid van suurstof is vyf tot sewe maal hoër in etanol as in water⁷⁾. Lansuiwering van suurstof tot die tussenvlak is dan dikwels nie diffusiebeheerd nie.

Stap ii vir die etanol-watersisteem is baie kompleks⁸⁾.

Indien water tot die anhidriese etanol toegevoeg word, adsorbeer meer water op die tussenvlak. Die water passiveer die aluminium en die korrosietempo daal.

Indien die water 50% (vol) oorskry, neem die korrosietempo toe. (figuur 2.5)

11/...



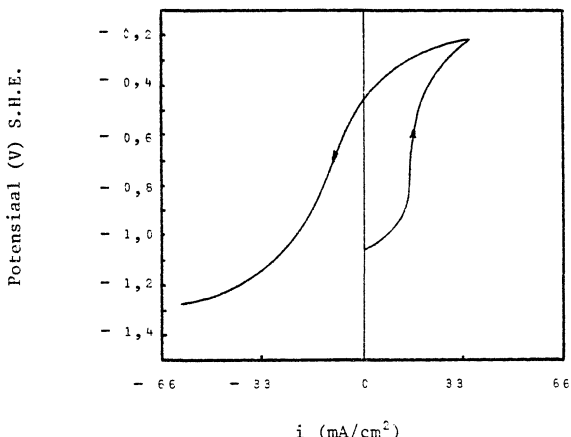
Figuur 2.5 : 'n Kwalitatiewe voorstelling van korrosietempo vs waterinhoud.

Persiantseva et al^{s)} sien 'n moontlike verklaring in die feit dat die korrosieprodukte meer oplosbaar word met 'n toename in die etanolinhoud (bo 50% etanol) en 'n toename in die waterinhoud (onder 50% etanol).

Die beskermende film wat op die metaal/medium tussenvlak vorm, is 'n passiveringsfilm. Daar word onderskei tussen passiveringsfilms en diffusieskeidingsfilms. Indien die film elektrongeleidend is, kan dit die katodiese reaksie op die film/medium tussenvlak onderhou - 'n passiveringsfilm. Diffusieskeidingsfilms is swak elektrongeleiers, oksideermiddels diffundeer deur die film en reageer met die metaal op die metaal/film tussenvlak.

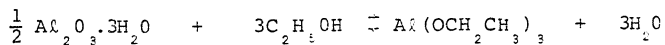
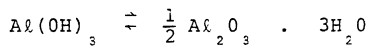
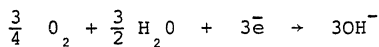
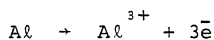
12.

Potensiodynamiese studies deur Persiantseva et al⁵⁾ het getoon dat die film 'n genoegsame elektrongeleidingsvermoë het om die katodiese reaksie by potensiale meer onedel as -0,4 V (S.H.E) te onderhou. (figuur 2.6)



Figuur 2.6 : Die karakteristieke van die Al passiveringsfilm.

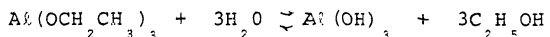
Die reaksies wat in Stap ii) plaasvind, is⁵⁾ :



13/...

13.

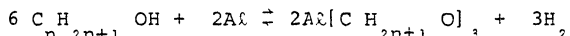
In die teenwoordigheid van water hidroliseer die aluminiumetielaat om aluminiumhidroksied te lewer.



2.5 Die chemiese reaksie tussen aluminiumalooie en etanol

Sasol²⁴⁾ het in die vyftigerjare gevind dat aluminium-alooie wat meer as 4,5% Cu bevat, deur die organiese fase geaffekteer word. Die organiese fase was weer eens 'n petrol-alkoholmengsel van 85/15 (vol %).

Die koper kan ook fisies aan die aluminium gekoppel word, om die chemiese reaksie te inisieer. Koper dien as katalis vir die reaksie :



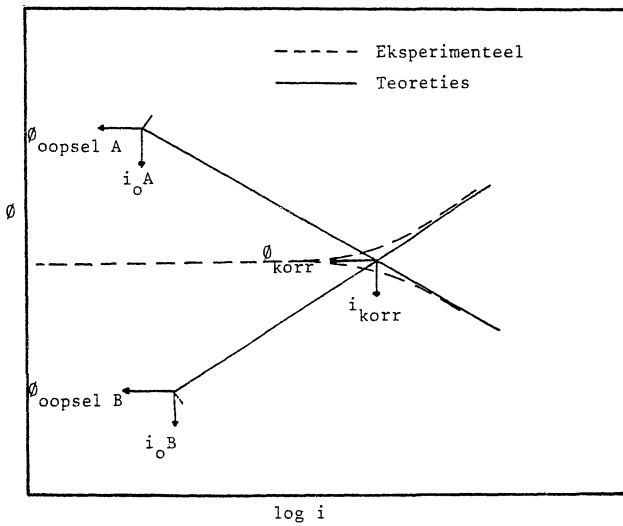
Die alkoholate is onstabiel in die teenwoordigheid van water. Dit hidroliseer onmiddellik om aluminiumhidroksied te vorm, wat 'n jelagtige voorkoms het. Die byvoeging van HgCl_2 en CCl_4 versnel die reaksietempo.

Vir die reaksies om teen geredelike tempo's te verloop, moet die temperatuur hoër as 60°C wees. Daar is gevind dat water, wat in die organiese fase opgeneem word, as stremmiddel dien via die promovering van 'n passiveringsfilm op die aluminiumoppervlak.

2.6 Polarisasiediagramme

'n Elektrochemiese reaksie bestaan uit minstens een anodiese en een katodiese reaksie. Elke halfselreaksie het 'n oopselpotensiaal waar dit in dinamiese ewewig is en beide anodies en katodies reageer teen 'n tempo bekend as die uitruilstroomdigtheid.

'n Polarisasie van die anode en katode potensiale na die gemeenskaplike korrosiepotensiaal vind plaas wanneer die twee halfselle gekoppel word. Met behulp van 'n potensiostaat kan daar nou vanaf die korrosiepotensiaal weggepolariseer word. 'n Voorstelling van die oorpotensiaal en die korresponderende stroom, word 'n polarisasiediagram genoem. In figuur 2.7 word 'n tipiese polarisasiediagram getoon.



Figuur 2.7 : 'n Polariisasiediagram

15.

$\phi_{\text{oopsel A}}$	=	Oopselpotensiaal
$\phi_{\text{oopsel B}}$	=	Oopselpotensiaal
i_{oA}	=	Uitruilstroomdigtheid
i_{oB}	=	Uitruilstroomdigtheid
ϕ_{korr}	=	Korrosiepotensiaal
i_{korr}	=	Stroomdigtheid by korrosiepotensiaal

Die oopselpotensiale is 'n skaalvoorstelling van die vrye energieë van die anodiese en katodiese halfselreaksies.

Sodra daar vanaf 'n ewewigstoestand weggepolariseer word, begin verskeie kinetiese faktore 'n rol speel.

Aktiveringspolarisasie (figuur 2.7) dui op die verskaffing van aktiveringsenergie aan 'n halfsel om die reaksie teen 'n hoër tempo te laat verloop. Die volgende verband geld :

$$\eta = \beta \log \frac{i}{i_o}$$

waar,

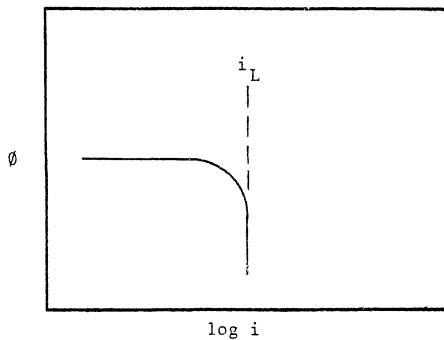
η = die oorpotensiaal

β = tafelkonstante ($\beta > 0$ vir anodiese en
 < 0 vir katodiese reaksies)

i = die stroomdigtheid by oorpotensiaal η

i_o = die stroomdigtheid by $\eta = 0$

Wanneer die aansuiwering van reagerende spesies tot die aktiewe intervlak, of die beweging van produkte weg van die vlak die tempobepalende stap word, geld die volgende polarisasieverband, (figuur 2.8).



Figuur 2.8 : Polarisasiediagram - konsentrasiebeheer

Die verband tussen oorpotensiaal en stroomdigtheid vir 'n konsentrasiebeheerde proses is :

$$\eta = \frac{RT}{nF} \ln \left\{ 1 - \frac{i}{i_L} \right\}$$

waar

η = oorpotensiaal

R = ideale gaskonstante

T = sisteemtemperatuur in Kelvin

n = aantal elektrone afgegee per atoom
wat reageer

F = Faraday se getal

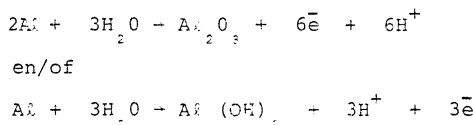
i = stroomdigtheid by oorpotensiaal η

i_L = limietstroomdigtheid 17/...

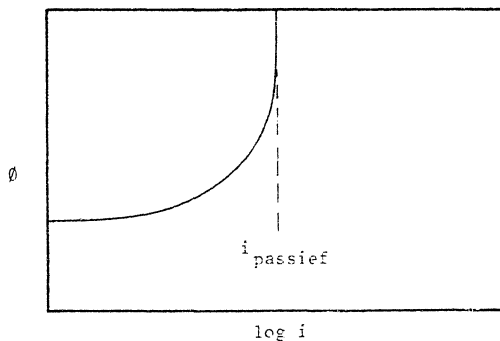
17.

In 'n eksperimentele opstelling kan slegs karakteristiese regte van die punt (ϕ_{korr} , i_{korr}) gemeet word. Met behulp van ekstrapolasie word karakteristiese links van hierdie punt gevind. Die potensiostaat meet slegs die verskil tussen 'n anode en 'n katode stroom by 'n sekere potensiaal en nie die absolute anode of katode stroom nie. In figuur 2.7 word die verskil tussen 'n werklike en teoretiese polarisasiendiagram getoon.

Aluminium ondergaan geredelik die anodiese reaksie :



'n Baie effektiewe passiveringsfilm vorm op die metaal, wat verdere reaksie beperk. 'n Tipiese polarisasiediagram vir aluminium word in figuur 2.9 getoon.

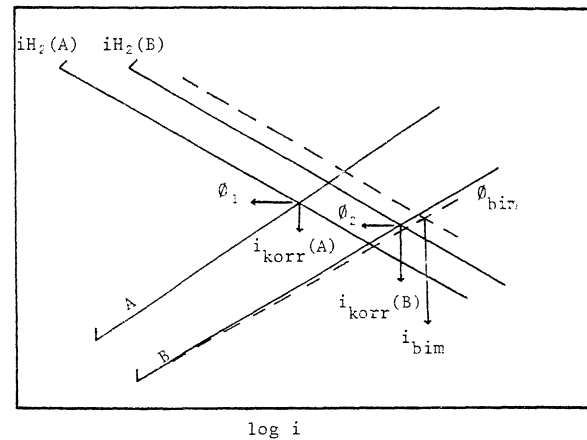


Figuur 2.9 : Polarisasiendiagram van Al in H_2O .

18/...

2.7 Die teorie van bimetaalkorrosie

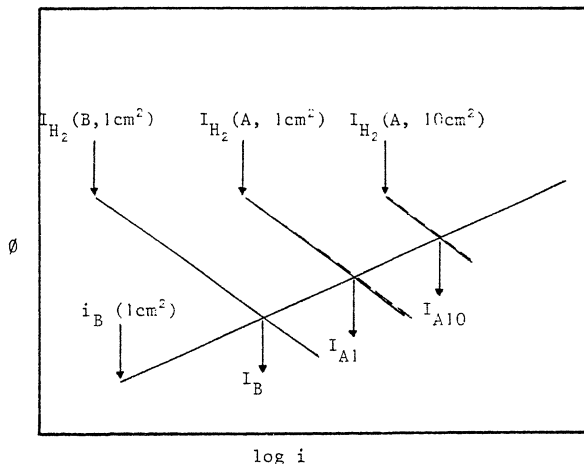
Wanneer 'n metaal in kontak is met 'n elektrolyet, stabiliseer dit by 'n potensiaal bekend as die korrosiepotensiaal. Indien 'n tweede metaal in dieselfde elektrolyet geplaas word, stabiliseer dit by 'n ander potensiaal. As die twee metale elektries gekoppel word, ontstaan daar dus 'n potensiaalverskil tussen die twee. In figuur 2.10 word tipiese polarisasiekarakteristieke getoon.



Figuur 2.10 : 'n Polariisasiediagram van 'n bimetaalkoppeling

Metaal A se korrosiepotensiaal (ϕ_1) is meer elektro-positief as dié van metaal B (ϕ_2). Indien die metale gekoppel word, polariseer dit tot 'n gemeenskaplike potensiaal (ϕ_{bim}). Metaal B korrodeer teen 'n hoër tempo, terwyl metaal A meer katodies reageer.

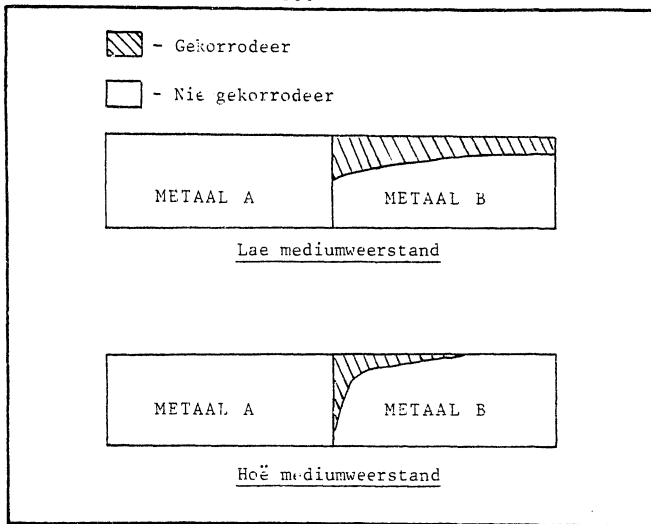
Verskillende oppervlakverhoudings ($A : B$) speel 'n belangrike rol. In figuur 2.11 word die verskil in korrosietempo's van metaal B getoon waar die oppervlakverhouding respektiewelik 1:1 en 10:1 is.



Figuur 2.11 : Oppervlakeeffek by bimetaalkorrosie

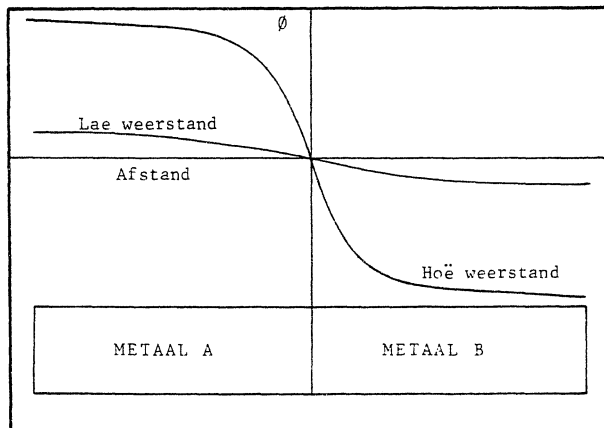
Bogenoemde bespreking is slegs geldig vir 'n sisteem met 'n baie lae mediumweerstand. Indien die medium 'n groot weerstand het, vind daar nie polarisasie tot 'n gemeenskaplike potensiaal plaas nie. In figuur 2.12 word die effek van IR-verliese getoon.

20.



Figuur 2.12 : Effek van mediumweerstand

Die weerstand neem toe met afstand vanaf die lasvlak tussen die metaale. In figuur 2.13 word die potensiaal vs afstand getoon vir 'n lae en 'n hoë weerstand medium.



Figuur 2.13 : Polarisasie vir hoë en lae weerstand media

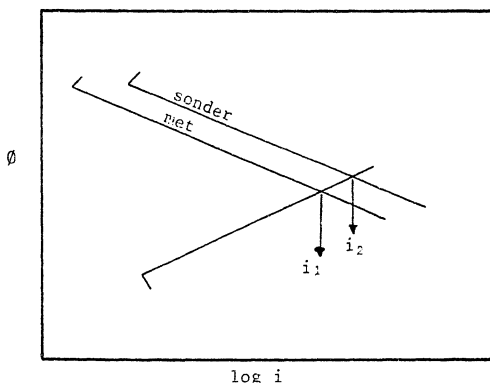
2.8 Die teorie van stremmiddels

Stremmiddels is chemikalieë wat by 'n korrosiewe medium gevoeg word om die anodiese en/of katodiese reaksies direk of indirek te beperk.

Daar bestaan verskillende klassifikasies²⁾ van stremmiddels. 'n Indeling van anodiese en katodiese stremmiddels dui op die stremmingseffek op die anodiese en katodiese areas respektiewelik.

2.8.1 Katodiese stremmiddels

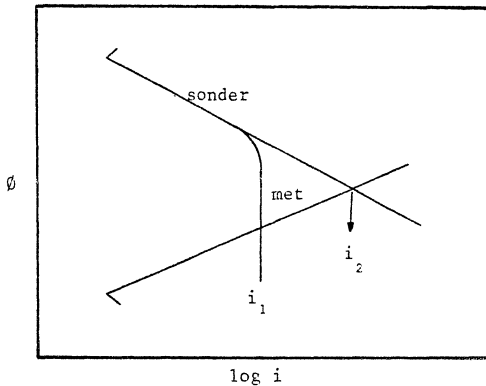
Die meganisme is adsorptief via elektrostatiese aantrekkingsskrage tussen dipole, beskikbare elektronparens. Die katodiese stremmiddel adsorbeer op die metaaloppervlak wat katodies reageer. Dit kan 'n verskuiwing van die uitruilstroomdigtheid van die katodiese reaksie teweegbring (figuur 2.14) van i_2 na i_1 .



Figuur 2.14 : Verskuiwing in uitruilstroomdigtheid van die katode-reaksies.

22.

Katodiese stremmiddels kan ook as 'n massa-oordrag=versperring optree en die aansuiwering van katodiese reagense tot die metaal/film intervalak beperk.
(figuur 2.15).

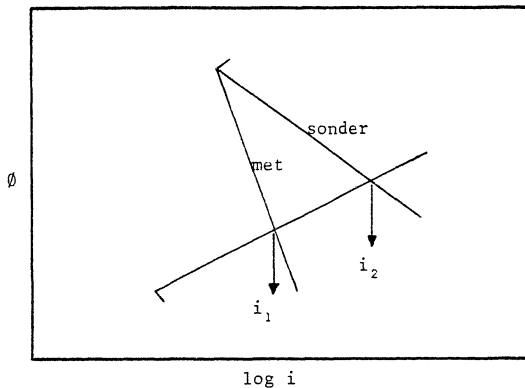


Figuur 2.15 : Invloed van 'n diffusieskeidingsfilm

Die geadsorbeerde molekule kan ook halfselreaksies dermate vertraag dat die aktiveringsenergie vir die katodiese reaksie toeneem ('n aansuiwering in die β_k -waarde - figuur 2.16).

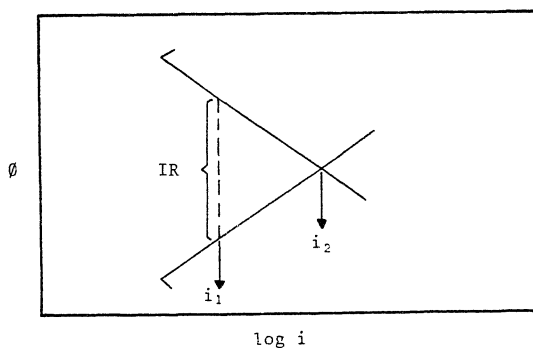
23/...

23.



Figuur 2.16 : Aansuiwering in Tafelhellings vir 'n aktiveringsbeheerde reaksie

Die metaaloksiedfilms is baie swak geleiers van elektrone; dus vind die reaksies op die metaal/film intervalvlak plaas. Dit kan dus as 'n weerstand in 'n elektriese baan gesien word. In figuur 2.17 word die invloed van sulke IR-verliese getoon.

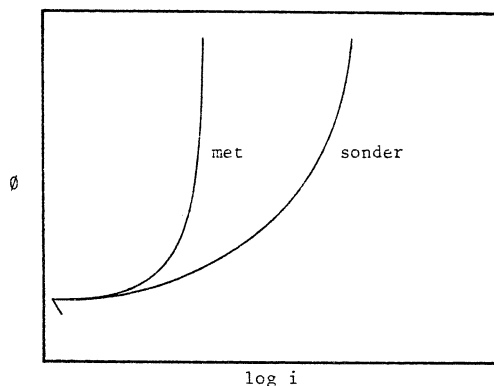


Figuur 2.17 : Invloed van IR-verliese op korrosietempo

24/...

2.8.2 Anodiese stremmiddels

Anodiese stremmiddels is soms geassosieerd met die vorming van 'n baie dun metaalsout-film. Mechanismes behels die promovering van die suurstof adsorbsie tot chemisorpsie, of tree self op as oksideermiddels. In figuur 2.18 word die aansuiwering in aluminium se anode-karakteristiek getoon.



Figuur 2.18 : Anode-karakteristiekaansuiwering van Al

2.9 Literatuuroorsig van moontlike geskikte stremmiddels

Moontlike geskikte stremmiddels se werking behels óf die beperking van die katodiese reaksie op die geelkoper, óf die anodiese reaksie op die aluminium óf 'n kombinasie daarvan.

Rother et al¹³⁾ het elektrochemiese ondersoek en massa-verliestoetse met Preventol CI-2 gedoen. Die sisteem was etileenglikol-watermengsels en aluminium. Daar is ook toetse met die aluminium-koper-koppel gedoen en in alle gevalle was die stremmiddel baie effektief.

Cerisola¹⁴⁾ het die stremmingseffek van bensotriiasol op koper ondersoek. Die rol wat -asol derivate speel is die adsorpsie van komplekse om 'n diffusieskeidingsfilm te vorm wat verdere katodiese reaksies strem.

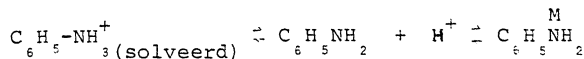
Chadwick et al¹⁵⁾ het gevind dat veral Cu(I)-bensotriiasol=komplekse vorm. Filmdiktes wissel tussen 400 en 1400 nm. Die komplekse kom voor as lineêre polimeerkettings. Cu(II)-bensotriiasolkomplekse kom slegs in 'n mindere mate voor.

In gevalle waar die Cu₂ film stabiel is, vorm die Cu(I)-bensotriiasol as 'n dun bedekkingslaag, terwyl die kompleksvorming op 'n CuO oppervlak baie stadiig plaas vind. 'n Pourbaix-diagram behoort dus handige inligting vir die geskiktheid van bensotriiasol as 'n stremmiddel vir koper te verskaf.

Chander et al¹⁵⁾ het natriumdietielditiokarbonaat (NaDTK) as 'n koperstremmiddel ondersoek. Die korrosieproduk is Cu(DTK)₂. By voldoende hoë konsentrasies vorm 'n effektiewe diffusieskeidingsfilm. Indien die NaDTK konsentrasie egter te laag daal, presipiteer die Cu(DTK)₂-produk uit in die bulkmedium en vind daar geen beskerming plaas nie.

26.

Talati et al^{17, 18)} het anilien en anilienderivate as 'n stremmiddel vir aluminium ondersoek. Amiene tree as elektronskenkers op en binding vind op die oppervlak plaas via 'n beskikbare elektronpaar. Anilien en anilienderivate kan dus as volg adsorbeer op 'n metaal M :

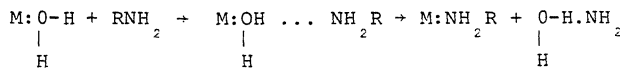


Die aniliniumioon kan ook direk op negatiewe gedeeltes van die oppervlak bind en 'n adsorbsie-film vorm.

Indien die benseenring deur 'n alkielgroep (RCH_3) vervang word, word die elektronpaar op die stikstof nie gedelokaliseer nie en is dit meer geredelik beskikbaar vir binding en word sterker bindings gevorm.

Tirbonod²⁰⁾ het gevind dat aso-derivate soos metielrooi en metieloranje met Al^{3+} verbind via die stikstof van die asoverbinding. Hierdie komplekse bestaan egter slegs as die medium se pH laer is as 5, aangesien 'n meer stabiele Al(OH)_3 vorm by hoër pH's.

Water ding mee met organiese spesies om op die oppervlak te adsorbeer²³⁾. Die adsorbsie-meganisme van amiene, volgens die watersubstitusie teorie²¹⁾, is :



Tributielamien is 'n sterker basis²¹⁾ as dibutielamien en dus sal 'n sterker binding vorm.

27/...

27.

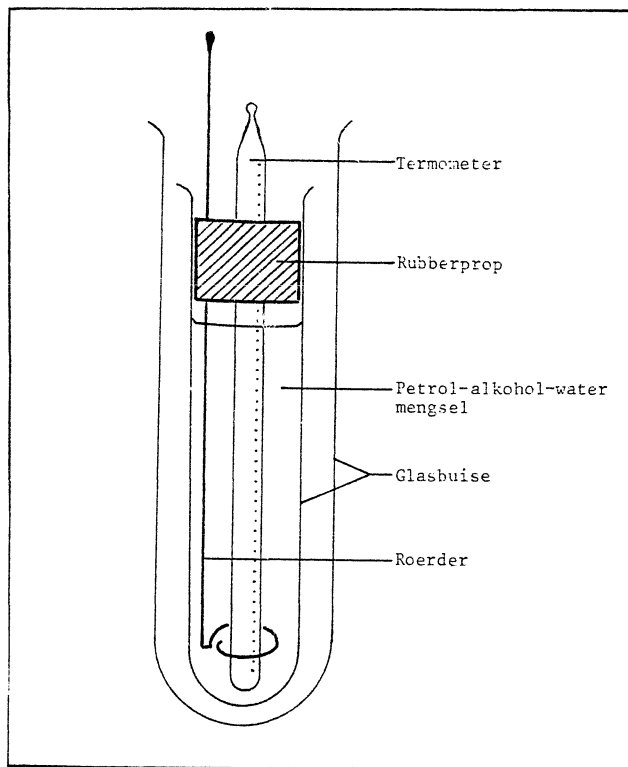
Amiene vorm diffusieskeidingsfilm; Talati et al²²⁾ het gevind dat die byvoeging van amiene as stremmiddel, die korrosiepotensiaal in die elektronegatiewe rigting verskuif. Steriese faktore speel ook 'n rol; wanneer molekule te groot word, word dit steriese verhinder om te adsorbeer en kom gevalle voor waar 'n swakker Lewisbasis 'n beter stremmiddel is.

28/...

3. APPARAAT

3.1 Watertoleransie

Die apparaat bestaan uit 'n glasbuis wat afgeseël word met 'n rubberprop. Die rubberprop maak voor-siening vir 'n kwik-in-glas termometer ($0,2^{\circ}\text{C}$ indeling) en 'n roermeganisme. Die glasbuis word in 'n groter buis, wat 'n geskikte hittegeleidingsmedium bevat, geplaas. Figuur 3.1 toon die opstelling.

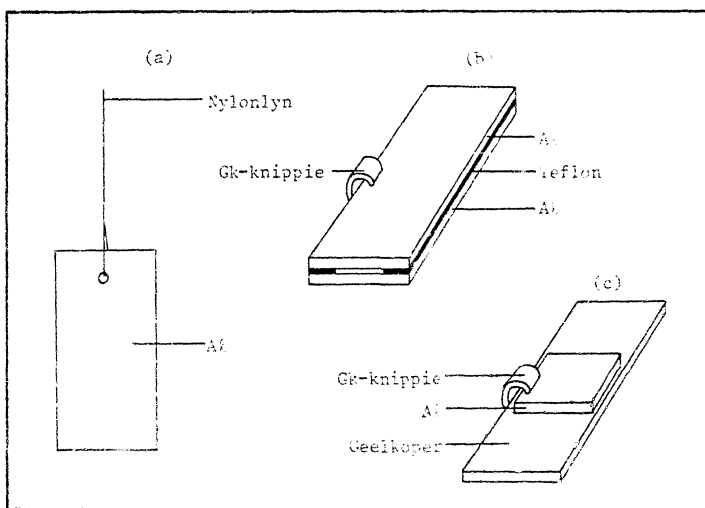


Figuur 3.1 : Apparaat vir watertoleransie-ondersoek

3.2 Korroosie

3.2.1 Massaverliestoerusting

Een liter glashouers met opskroefdeksels is gebruik. Die aluminium is tot monsters van $20 \times 20 \times 2$ mm afgewerk. Vir bimetaalopstellings is geelkoperplate tot monsters van $40 \times 20 \times 2$ mm verwerk. Teflonstrokkies ($20 \times 2 \times 0,2$ mm) is gebruik om gleuwe te simuleer. In figuur 3.2 word die montering van 'n uniforme-, gleuf- en bimetaalondersoek getoon.



Figuur 3.2 : Montering van monsters vir uniforme- (a), gleuf- (b) en bimetaalondersoek (c)

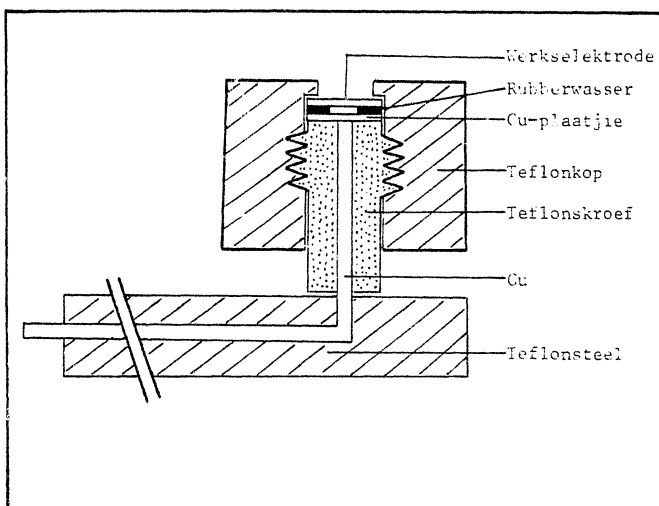
3.2.2 Elektrochemiese toerusting

(a) Werkselektrodehouer

Die voorbereide werkselektrode word gemonteer soos in figuur 3.3 getoon.

30/...

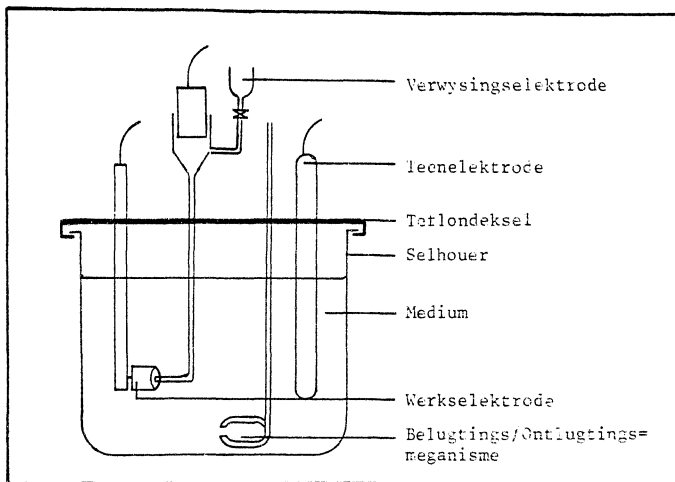
30.



Figuur 3.3 : Werkselektrode houer

(b) Setup

Die sel het uit 'n glasbak bestaan met 'n teflondeksel wat voorsiening maak vir die montering van die werks-elektrode, die verwysingselektrode en die teenelektrode en 'n deurborrelingsmeganisme (figuur 3.4). Die verwysingselektrode was 'n Metrohm 414 Kalomel (vers KC1) tipe. Die teenelektrode was 'n platinum tipe Metrohm EA 211.



Figuur 3.4 : Selopstelling

(c) Globale opstelling

Die volgende apparaat is gebruik :

Wenking model 68 TS10 potensiostaat (Bylaag 9.1)

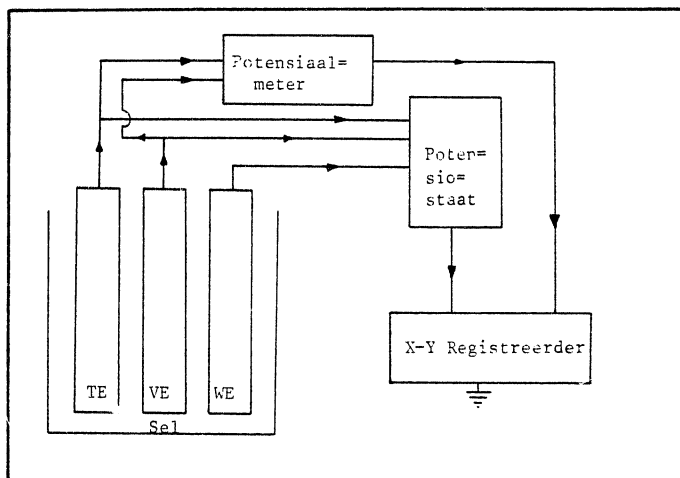
Wenking model PPT69 potensiaalmeter

Wenking model SMP68 skandeermotor

Yokogawa model 3078 xy plotter

Die opstelling word in figuur 3.5 getoon.

32.



Figuur 3.5 : Opstelling vir elektrochemiese ondersoek

3.2.3 Belugting en ontlugting

Voorafbelugting is in 'n 1 dm^3 maatsilinder met 'n sinterglassproeistuk gedoen. Na opstelling is belugting / ontlugting in die sel voortgesit. Ontlugting was analoog met stikstof as deurborreelingsmedium. In laasgenoemde geval is die teflondeksel met maskeerbandal afgedig.

3.2.4 pH Meting

Media pH is voor verwante ondersoeke met 'n Zeiss model 300 pH-meter gemeet (bylaag 9.6).

3.2.5 Temperatuurbeheer

'n Labotec model 101 termiese bad met 'n aan/af reëlaar is gebruik.

3.2.6 Mediumanalise

'n Hewlitt-Packard model 5840A gaschromatograaf is vir die kwantitatiewe analise van die aqua-fase gebruik. (Bylaag 9.3)

3.3 Ekstraksie

'n Hewlitt-Packard model 5840A gaschromatograaf is gebruik om die ekstraksievermoë van sekere stremmiddels te bepaal.

4. EKSPERIMENTELE PROSEDURE

4.1 Watertoleransie

Vir petrol-alkohol verhoudings wat varieer van 85 - 15 tot 90 - 10 (vol %), is SASOL-petrol en alkohol opge=maak in maatsilinders. 'n Bekende hoeveelheid water is bygevoeg. Indien die versadigingstemperatuur hoër as kamertemperatuur was, is die mengsel verhit in 'n geslote houer om 'n homogene oplossing te kry.

Afkoeling vind plaas deur die hulsmedium. Vir lae temperature is die huls met CO₂ (s)-asetoon gevul. Die temperatuur waar die mengsel mistig word, is gerapporteer. Na faseskeiding is die sisteem verhit en die fase-oorgangstemperatuur is weer gemonitor. Gedurende die hele proses, is die mengsel met tussenposes geroer om 'n homogene temperatuur te verseker.

KRYGKOR-ALKOHOL	KOMPONENT	VOLUME PERSENTASIE
	Etanol	95
	Isobutanol	3,5
	Sasol-petrol	1,5

Tabel 4.1 : Samestelling van Krygkor-alkohol

4.2 Sisteemanalise

4.2.1 Mediumanalises

Media wat ondersoek is, behels :

- (a) Media gebaseer op Krygkor-alkohol
 - i) Die brandstof soos ontvang
 - ii) Die organiese fase na faseskeiding
 - iii) Die aqua-fase na faseskeiding

Die Krygkor-alkohol en die aqua-fase se samestellings word in tabel 4.1 en tabel 4.2 getoon.

Komponent	Volume persentasie
Etanol	88,3
i-Butanol	3,3
Sasol-petrol	1,4
Water	7,0

Tabel 4.2 : Samestelling van Krygkor-alkohol se verwante aqua-fase

(b) Media gebaseer op kommersiële alkohol.

Slegs die aqua-fase wat na faseskeiding resulteer, is betrek. Die samstellings van die kommersiële alkohol en die gesintetiseerde aqua-fase word in tabelle 4.3 en 4.4 respektiewelik getoon.

Komponent	Massa persentasie
Etanol	66,9
n-Propanol	20,4
i-Propanol	7,8
n-Butanol	2,6
i-Butanol	0,5
Ander	1,8

Tabel 4.3 : Samestelling van die kommersiële alkohol

Komponent	Volume persentasie
Etanol	63
n-Propanol	24
Water	13

Tabel 4.4 : Samestelling van die kommersiële alkohol se verwante aqua-fase

4.2.2 Mediumvoorbereiding

Die Krygkor petrol-alkoholmengsels is gesintetiseer met behulp van SASOL-brandstof en Krygkor-alkohol, verskaf deur NCP. SASOL het van die kommersiële brandstofmengsels beskikbaar gestel.

Aqua-fases van die Krygkor petrol-alkoholmengsel is gesintetiseer met water, etanol en iso-butanol.

Aqua-fases van die kommersiële brandstof is met n-propanol, etanol en water gesintetiseer. Vir die massaaverliestoetse is 'n Krygkor-aqua-fase wat slegs etanol en etanol-water versadigde Ci-oplossing bevat, ook betrek.

Aqua-fases wat gebruik was in die polarisasie ondersoek se geleidingsvermoë is verhoog deur 500 mg/liter NaCl toe te voeg. (Bylaag 9.2) Die pH-invloed is ook ondersoek deur HCl of NaOH toe te voeg. Vir die stremmiddel ondersoek is konsentrasies van 500 dpm en 1 000 dpm gebruik.

4.2.3 Monsters

Die bulk van die vergasser is 'n aluminiummallooii. 'n Geelkopersproeistuk pas styf in die vergasser via 'n bussie wat van 'n tweede tipe aluminiummallooii vervaardig is.

Die SABS het die geelkoper geanaliseer. Metal & Chemical Industries het die aluminiummallooie geanaliseer. In tabel 4.5 word die resultate getoon.

Twee addisionele aluminiumtipes is ook gebruik, naamlik $\text{Al}_2\text{-Cu}$ allooii en 'n suiwer aluminium.

Kompon= nent	Bulk= materiaal	Bus= materiaal	Sproei= stuk	$\text{Al}_2\text{-Cu}$	Suiwer Al
Cu	0,89	0,01	57,95	4,5	-
Zn	0,89	0,01	18,70	-	-
Fe	0,54	0,20	0,17	-	-
Si	12,45	0,15	-	-	-
Mn	0,28	0,01	-	-	-
Mg	0,09	0,50	-	-	-
Sn	-	-	0,17	-	-
Ni	-	-	0,09	-	-
Pb	-	-	2,81	-	-
Al	Res	Res	20,02	Res	99,99

Tabel 4.5 : Samestelling van monsters (massa %)

4.2.4 Monstervoorbereiding

Die Afdeling Tegnies van die Universiteit van Pretoria het die plaat en gietstukke tot monsters verwerk.

Aluminiummonsters van $20 \times 20 \times 2$ mm en gieelkopermonsters van $40 \times 20 \times 2$ mm is gemaak. Monsters vir polarisasie ordersoeke was silindere van 12 mm deursnee en 2 mm dikte.

Die verdere voorbereiding van monsters het behels :

Skuur met 120 grit skuurpapier en gedistilleerde water tot 'n blink metaal voorkoms.

Skuur met 600 grit skuurpapier en gedistilleerde water tot 'n gladde voorkoms.

Spoel met asetoon (indien die monster eers later gebruik word, word dit in 'n dessikator gestoor).

Finale skuur met 1200 grit skuurpapier, gevvolg deur 'n asetoonspoel en 'n finale was met gedistilleerde water.

4.3 Opstelling

4.3.1 Massaverliestoetse

(a) Uniforme korrosie

Aluminiummonsters van $20 \times 20 \times 2$ mm van vier tipes allooie (tabel 4.5) is in belugte media, by kamertemperatuur, met behulp van nylonlyn gesuspender. Na dertig dae blootstelling is die monsters skoongemaak. Alle korrosieprodukte is verwyder met 'n draadborsel, daarna geskuur met 'n rubberprop en gewas in gedistilleerde water. Die monsters is geweeg en die massa-verlies is bereken.

(b) Bimetaalkorrosie

Aluminiummonsters van $20 \times 20 \times 2$ mm is op geelkoperplaatjies ($40 \times 20 \times 2$ mm) bevestig met behulp van geelkoperknippies. Die opstelling is in belugte media gesuspender vir dertig dae.

40.

(c) Gleufkorrosie

Twee aluminiummonsters ($20 \times 20 \times 2$ mm) is met behulp van twee teflonstrokies ($20 \times 20 \times 0,2$ mm) geskei. Om gunstige gleuftoestande te skep, is die opstelling horisontaal gesuspendeer met behulp van teflonband.

(d) Alkoholkonsentrasie

Die alkoholinhou van die Krygkor aqua-fase is met 2% volume geïnkrementeer vanaf 90% tot 100%. Suiwer aluminiummonsters is gebruik.

(e) Tydstudie

Bimetaalopstellings is vir tydperke van 2, 4, 6, 8, 9 en 10 dae blootgestel aan 'n Krygkor petrol-alkohol-mengsel se aqua-fase.

4.3.2 Potensiostatiese ondersoek

Die voorbereide monsters is in die werkselektrode houer gemonteer en die sel is opgestel. Die sisteem is een uur gelaat om te stabiliseer; 'n skanderingstempo van 30 mV/min is deurgaans gebruik.

Vir die evaluering van die stremmiddels is anodiese en katodiese polarisasies van ± 100 mV uitgevoer.

41/...

41.

4.4 Ekstraksie

Bensotriescel en tributielamien is in konsentrasies van 1 000 dpm by kommersiële brandstof gevoeg. 0,5% Water by 25°C is bygevoeg en die konsentrasie van die stremmiddel in die resulterende aqua-fase is bepaal.

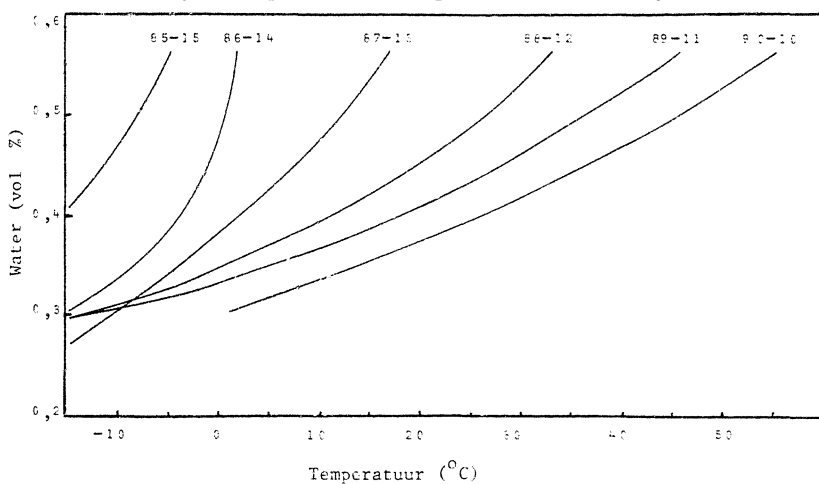
42/...

42.

5. RESULTATE

5.1 Watertoleransie

Die verhouding van petrol tot alkohol is 'n belangrike faktor wat die watertoleransie van 'n brandstofmengsel bepaal. In figuur 5.1 word die temperature aangetoon waar faseskeiding net plaasgevind het. Verskillende verhoudings van petrol tot Krygkor alkohol is gebruik.



Figuur 5.1 : Watertoleransies van Krygkor alkohol-petrolmengsels

43/...

43.

5.2 Mediumanalises

Die samestelling van die Krygkor brandstof se resulterende aqua-fase by 25°C is 93% Krygkor-alkohol en 7% water (volume %).

Die samestelling van die kommersiële brandstof se aqua-fase (25°C) is 13% water, 24% n-propanol en 63% etanol (volume %). Hierdie is 'n genormaliseerde analise; die ander komponente, minder as 3%, is gëignoreer.

5.3 Massaverliestoetse

5.3.1 Aqua-fases

Drie media is gebruik, naamlik :

Medium A : 93/7 (volume) Krygkor-alkohol/water

Medium B : 93/7 etanol/water

Medium C : 93/7 etanol/water versadig met NaCl.

5.3.1.1 Uniforme korrosie

Medium A : Busmateriaal : 20 umpsj

Bulkmateriaal : 35 umpsj

Suiwer A₁ : 18 umpsj

A₁-Cu (4,5%) : 38 umpsj

Medium B : Busmateriaal : 3 umpsj

Bulkmateriaal : 7 umpsj

Suiwer A₁ : 4 umpsj

A₁-Cu (4,5%) : 5 umpsj

44 / ...

Medium C :	Busmateriaal	:	245 μmpj
	Bulkmateriaal	:	258 μmpj
	Suiwer Al	:	238 μmpj
	Al-Cu (4,5%)	:	272 μmpj

5.3.1.2 Bimetaalkorrosie

Medium A :	Busmateriaal	:	60 μmpj
	Bulkmateriaal	:	90 μmpj
	Suiwer Al	:	54 μmpj
	Al-Cu (4,5%)	:	93 μmpj

Medium B :	Busmateriaal	:	15 μmpj
	Bulkmateriaal	:	18 μmpj
	Suiwer Al	:	13 μmpj
	Al-Cu (4,5%)	:	22 μmpj

Medium C :	Busmateriaal	:	377 μmpj
	Bulkmateriaal	:	450 μmpj
	Suiwer Al	:	340 μmpj
	Al-Cu (4,5%)	:	480 μmpj

5.3.1.3 Gleufkorrosie

Medium A :	Busmateriaal	:	23 μmpj
	Bulkmateriaal	:	34 μmpj
	Suiwer Al	:	20 μmpj
	Al-Cu (4,5%)	:	41 μmpj

Medium B :	Busmateriaal	:	5 μmpj
	Bulkmateriaal	:	7 μmpj
	Suiwer Al	:	4 μmpj
	Al-Cu (4,5%)	:	7 μmpj

45.

Medium C :	Busmateriaal :	266 μmpj
	Bulkmateriaal :	260 μmpj
	Suiwer Al :	244 μmpj
	Al-Cu (4,5%) :	289 μmpj

5.3.2 Organiese fases

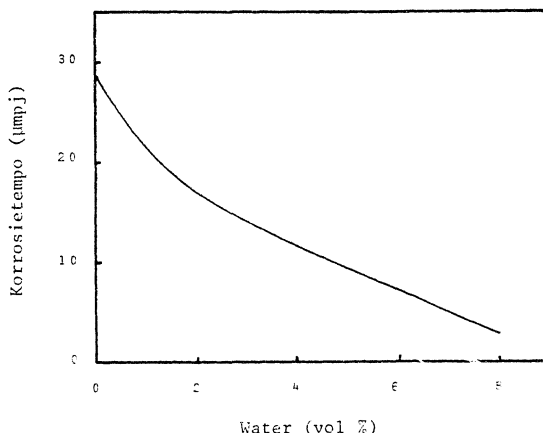
Organiese fases wat versadig was met water en chloried, water alleen en sonder enige water, is gebruik vir uniforme, bimetaal- en gleufkorrosie-ondersoeke.

Geen korrosie is ondervind nie.

Uniforme korrosietoetse met suiwer aluminium in die organiese fase alleen, by 40°C , 60°C en 70°C het geen korrosie getoon nie.

5.3.3 Die hoeveelheid alkohol in die aqua-fase

In figuur 5.2 word die korrosietempo's van die suiwer aluminium getoon.



Figuur 5.2 : Korrosietempo van Al vs Krygkor-alkoholinhoud

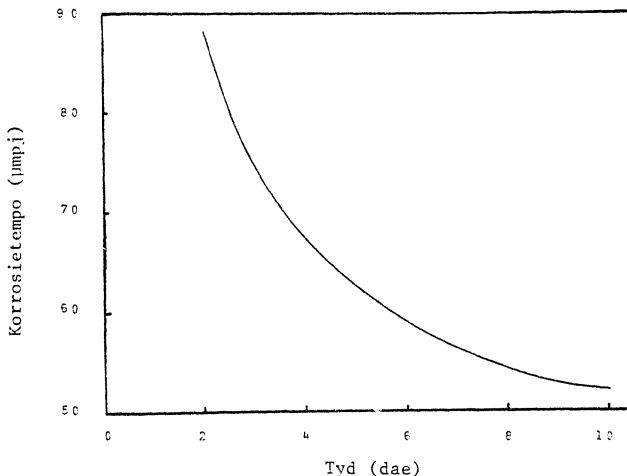
46/...

5.3.4 Tydstudie

Die korrosietempo verander met blootstellingstyd.

In figuur 5.3 word die korrosietempo teen tyd getoon.

Die tempo is die gemiddelde vir die blootstellingsperiode.



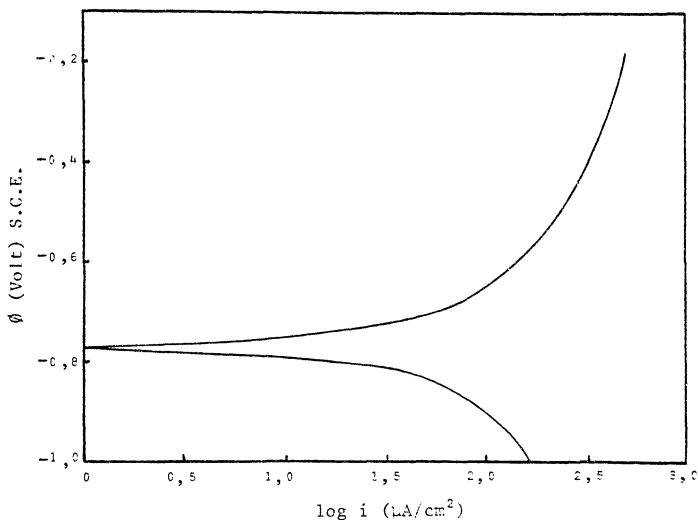
Figuur 5.3 : Korrosietempo van Aluminium vs blootstellingstyd.

5.4 Polarisasieondersoek van aluminium in aqua-fase

5.4.1 Katodiese en anodiese reaksies

Die polarisasiekarakteristieke van aluminium in 'n belugte kommersiële brandstof se aqua-fase, word in figuur 5.4 getoon. Die pH van die medium is 8,9.

47.



Figuur 5.4 : Aluminium se polarisasiekarakteristiek in belugte aqua-fase

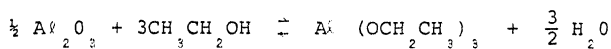
Die aluminium toon 'n passiveringsgeneigdheid en via ekstrapolering is i_{passief} benadered $600 \mu\text{A}/\text{cm}^2$.

Die identiteit van die katodiese reaksie kan nie sonder meer vasgestel word nie. Weens die afwesigheid van ander oksideermiddels, is dit of die waterstof- of die suurstofreaksie. Die waterstof se oopselfpotensiaal is $-0,77 \text{ V}$ ($\text{pH } 8,9$). Die teoretiese waterstofoopselfpotensiaal en die aluminium se korrosiepotensiaal is prakties dieselfde. Tensy die waterstof katodiese reaksie 'n baie klein Tafelkonstante het, is die suurstof reaksie die mees waarskynlike katodiese reaksie.

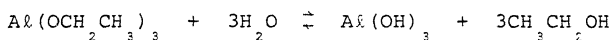
48/...

48.

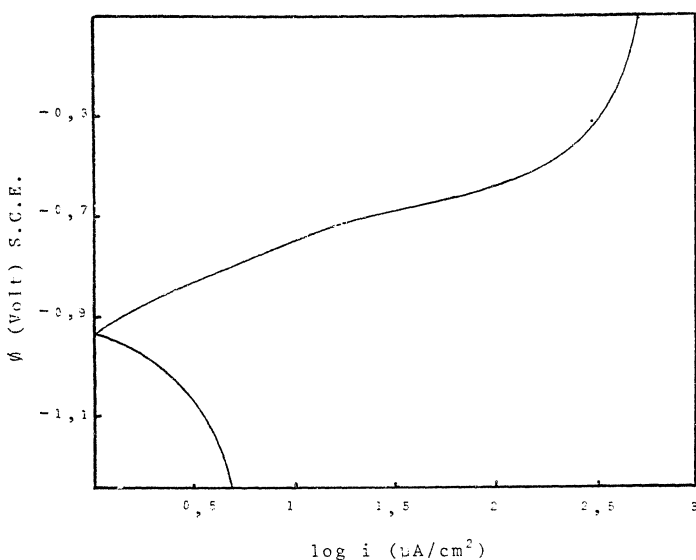
Die reaksie :



word gevvolg deur die hidrolise stap :



Die aluminium word met 'n jelagtige lagie bedek wat via 'n infrarooianalise as aluminiumhidroksied geïdentifiseer is. Hierdie jellagie beperk die aansuiwering van oksideermiddel tot die metaaloksied/medium intervalak. Die katodiese reaksie raak diffusiebeheerd, soos blyk uit figuur 5.4. In figuur 5.5 word die polarisasiekarakteristiek van 'n ontlugtesisteem getoon.

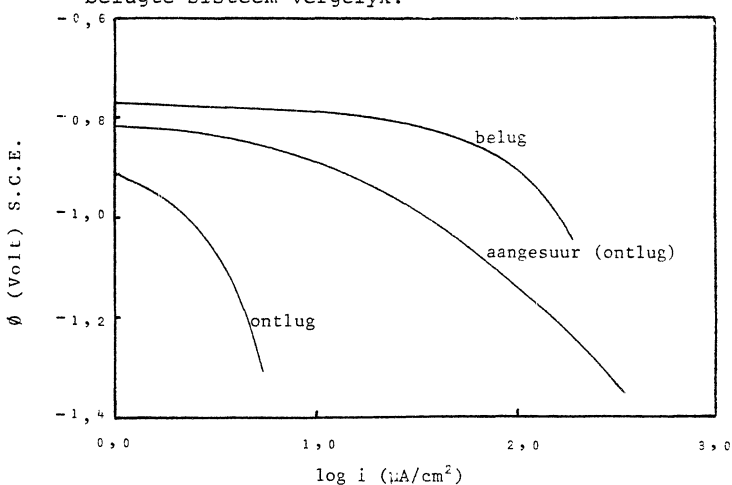


Figuur 5.5 : Aluminium in ontlugte aqua-fase

Die katodiese reaksie is nou sterk diffusiebeheerd.

Die aluminium toer ook 'n swakker passivering as in die belugte medium. Suurstof, soos water, speel dus 'n belangrike rol in die passivering van die aluminium en vorm die beherende katodiese reaksie.

'n Ontlugte sisteem, aangesuur tot pH 1,1 se katodiese karakteristiek word in figuur 5.6 met dié van 'n belugte sisteem vergelyk.

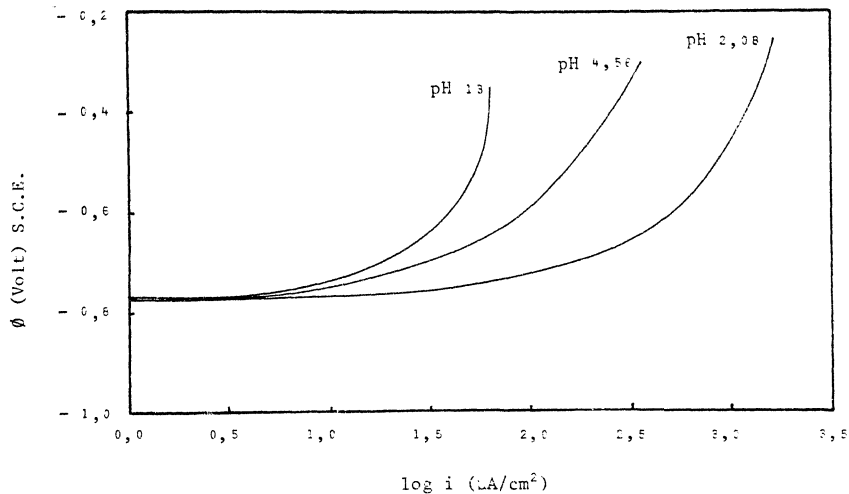


Figuur 5.6 : Katodekarakteristieke van Al in aangesuurde, belugte en ontlugte sisteme

5.4.2 Die invloed van pH op Al se anodekarakteristiek

Die aluminium het sy korrosiebestandheid te danke aan 'n effektiewe $\text{Al}_2\text{O}_3/\text{Al(OH)}_3$ film wat vorm. In figuur 5.7 word die effek van die pH op aluminium se anodekarakteristieke in belugte media getoon.

50.



Figuur 5.7 : Die effek van pH op Al se anode=karakteristiek in belugte aqua-fase

Die aluminium toon 'n swakker passivering in laer pH-gebiede. Daar is nie groot potensiaalverskuiwings in die korrosiepotensiaal van die sisteem nie.

ϕ_{korr} daal van $-0,77\text{V}$ vir pH 8,9 tot $-0,76\text{V}$ vir pH 2,0. Die sisteem is dus katodies beherend.

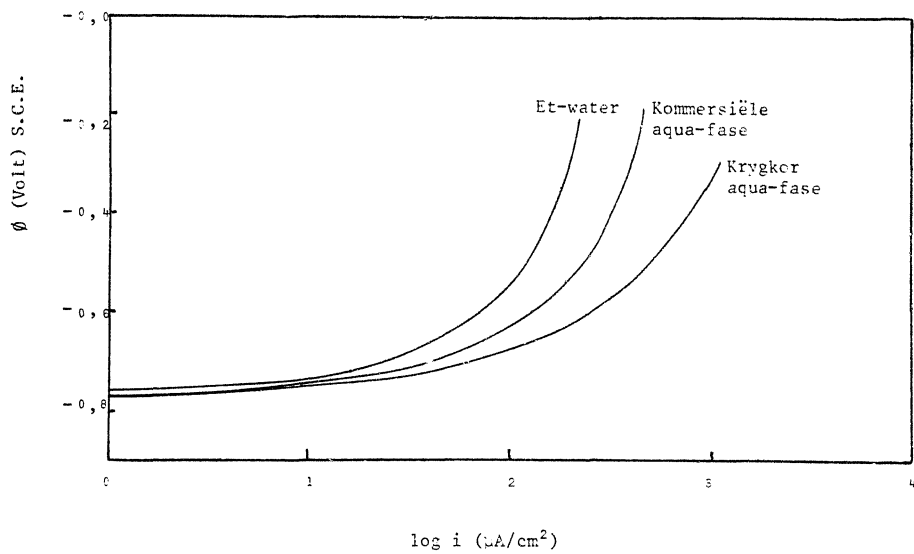
5.4.3 Die invloed van iso-butanol op aluminium anode=karakteristieke

Vir hierdie ondersoek is vergelykender studies van die aqua-fases etanol/water (93/7), Krygkor-alkohol/water (93/7) en kommersiële alkohol/water gedoen.

Die tipe alkohol wat in die aqua-fase ekstraheer, beïnvloed ook die aluminium se anodiese karakteristieke. Die Krygkor-alkohol bevat iso-butanol en die kommersiële alkohol n-propanol. In figuur 5,8 word die aluminium se anodiese karakteristieke getoon.

51/...

51.

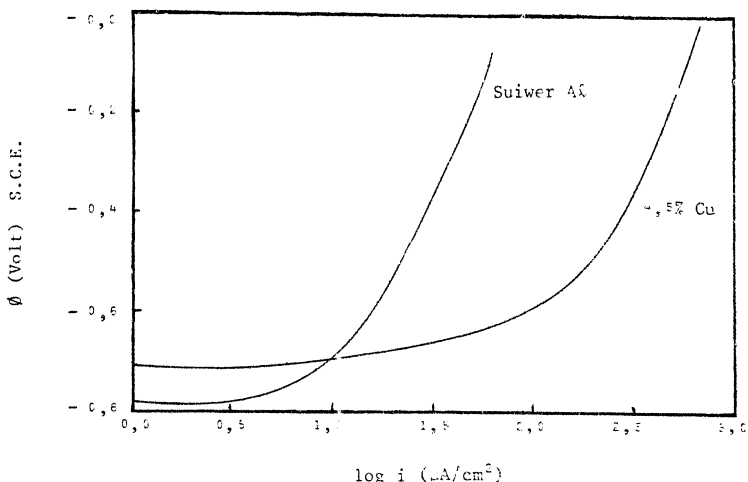


Figuur 5.8 : Die invloed van iso-butanol en i-propanol op aluminium se anodekarakteristiek

5.4.4 Die invloed van koper bylegering op aluminium se passiveringsvermoë

Die polarisasiekarakteristiek van 'n 4,5% Cu bylegering tot Al word in figuur 5.9 getoon. Die verskuiwing van die anodiese kromme na regs volg duidelik uit figuur 5.9

52/...

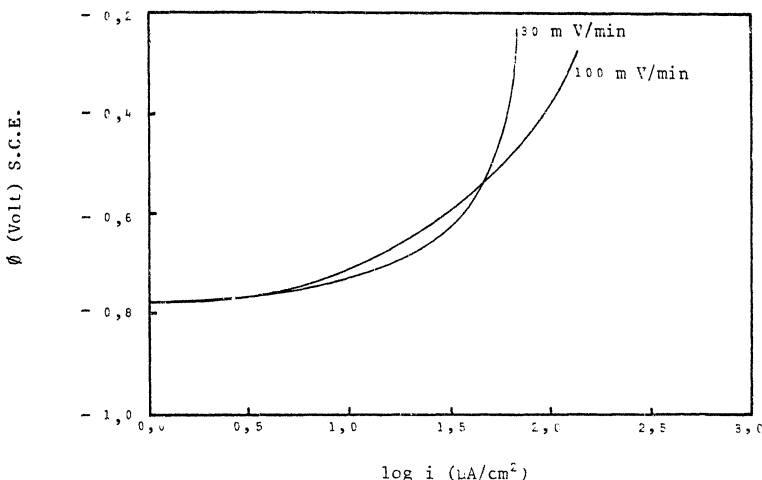


Figuur 5.9 : Die invloed van Cu as bylegering tot Al op Al se anodekarakteristiek

5.4.5 Skanderingstempo

Die passivering van aluminium vind teen 'n eindige tempo plaas. In figuur 5.10 word die anode polarisasiekrommes van aluminium vir twee verskillende skanderingstempo's getoon.

53.



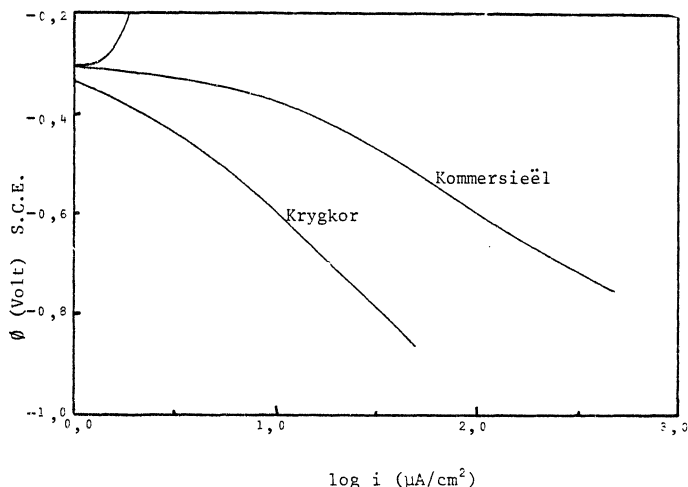
Figuur 5.10 : Skanderingstempo se invloed op A_i se anodekarakteristiek

Wanneer die oorpotensiaal vinnig verander, het die passiveringslaag nog nie volledig gevorm nie.

Die anodiese kromme toon 'n verskuiwing na regs.

5.5 Polarisasie-ondersoek van geelkoper in die belugte sisteem

In figuur 5.11 word geelkoper se polarisasiekarakteristieke getoon in aqua-media van die Krygkor-brandstof en die kommersiële brandstof.



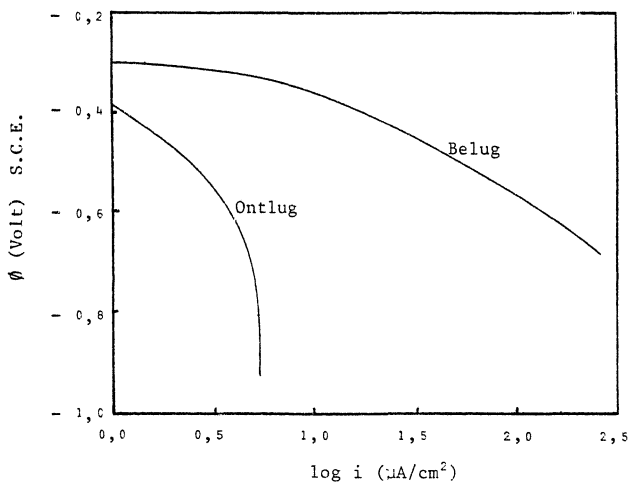
Figuur 5.11 : Polarisasiekarakteristieke van geelkoper in beluged aqua-media

Die katodiese reaksie toon nie enige diffusiebeheer nie. Geen diffusieskeidingsfilm vorm op die geelkoper nie. Geelkoper passieveer in die media, soos blyk uit die anodekarakteristiek. Suurstof se oplosbaarheid is ongeveer 290 mg/liter in etanol. Massaoordrag vanuit die bulkmedium raak ook nie beherend en 'n aktiveringsbeheerde sisteem resulteer. Indien hierdie sisteem ontluig word, behoort massaoordrag van suurstof vanaf die bulkmedium na die film/metaal tussenvlak, die beherende reaksie te word.

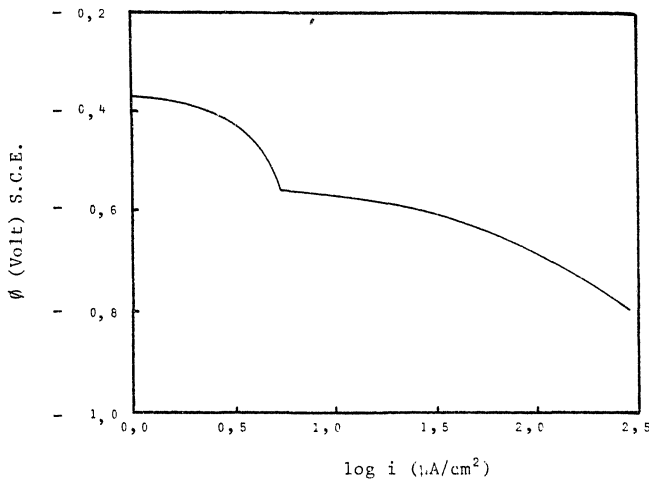
In figuur 5.12 word die katodiese reaksie se polarisasiekarakteristiek getoon. Die reaksie toon nou sterk diffusiebeheer. Die zero-stroompotensiaal is nou $-0,37\text{V}$ (SCE). Indien hierdie sisteem aangesuur sou word, word die katodiese waterstofreaksie waargeneem.
(figuur 5.13)

55/...

55.



Figuur 5.12 : Katodiese polarisasiekarakteristiek van geelkoper in ontlugte aqua-fase



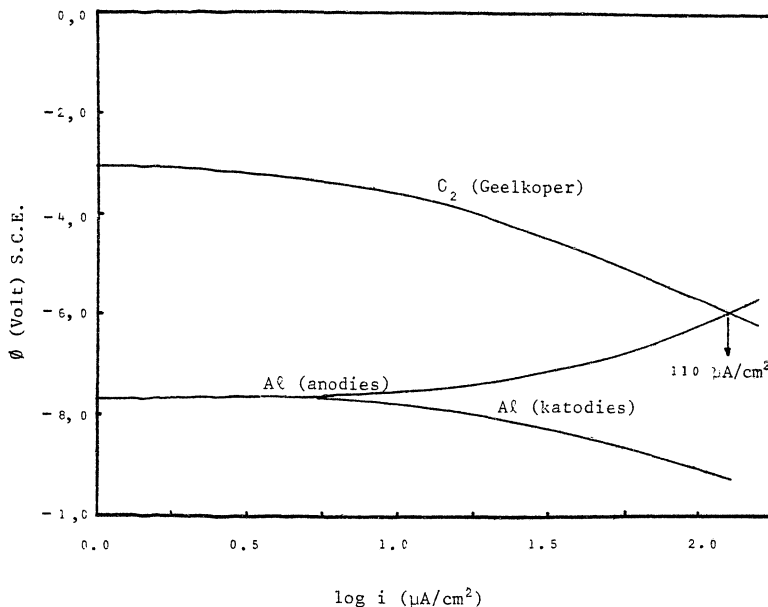
Figuur 5.13 : Katodiese polarisasiekarakteristiek van geelkoper in 'n aangesuurde ontlugte sisteem (pH 1.1)

56/...

56.

5.6 Die bimetaalkoppeling van geelkoper en aluminium

In figuur 5.14 word die saamgestelde krommes getoon.



Figuur 5.14 : Die bimetaalkoppeling van geelkoper en aluminium in 'n belugte aqua-fase

Die stroom wat vloeи na koppeling is $110 \mu\text{A}/\text{cm}^2$. Volledige polarisasie vind egter nie oor die hele aluminiumoppervlak plaas nie, want die IR-verliese in die swakgeleidingsmedium is hoog. Visuele waarnemings van massaverliestoetse het aangetoon dat aluminiumoppervlakte wat naasliggend aan die geelkoper was, die meeste gekorrodeer het.

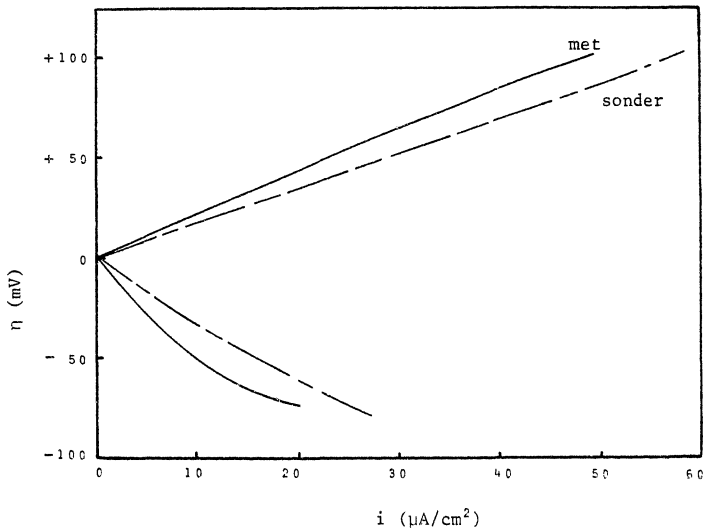
57.

In die praktyk is die bimetaalkoppel waarskynlik die grootste enkele bydraende faktor tot die verhoogde korrosietempo van die aluminium.

5.7 Stremmiddels

Stremmiddels word geklassifiseer volgens die aansuiwering van die korrosiepotensiaal van aluminium in 'n katodiese of anodiese rigting.

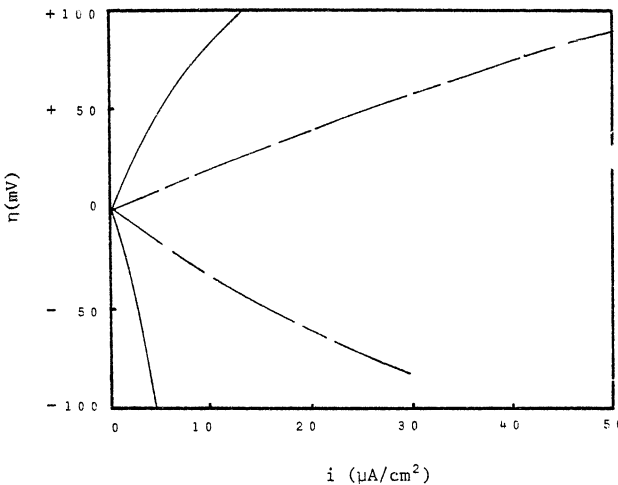
Geskikte anodiese stremmiddels is met behulp van polarisasieondersoeke ge-evalueer. In figure 5.15 - 5.21 word die resultate getoon. Beide die anodiese- en katodiesekarakteristieke is ondersoek. Dit word telkens met die ongestremde sisteem vergelyk.



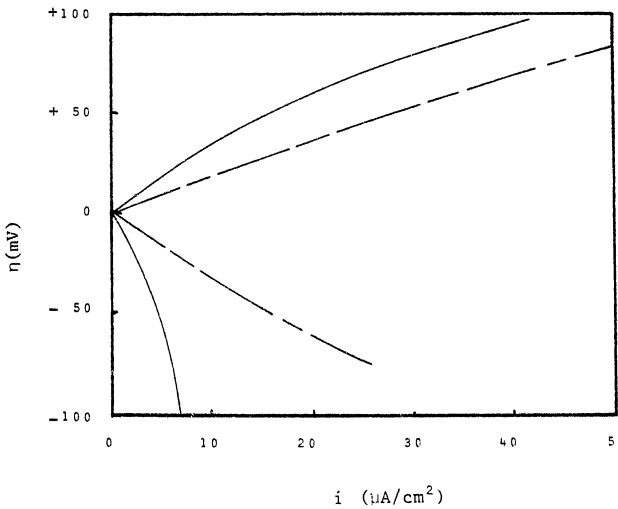
Figuur 5.15 : p-Toluïdien

58/...

58.



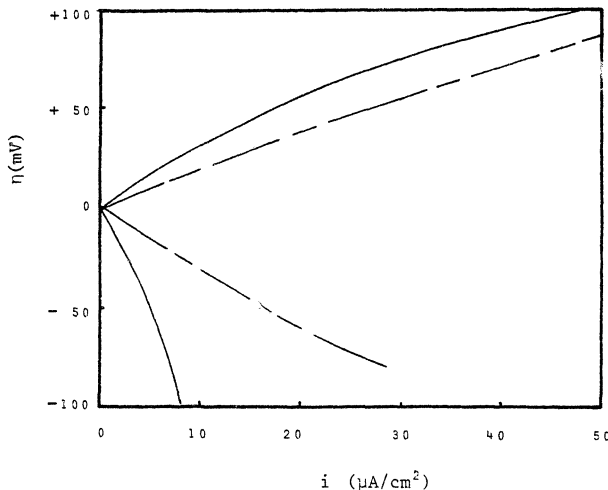
Figuur 5.16 : Tri-n-butielamien



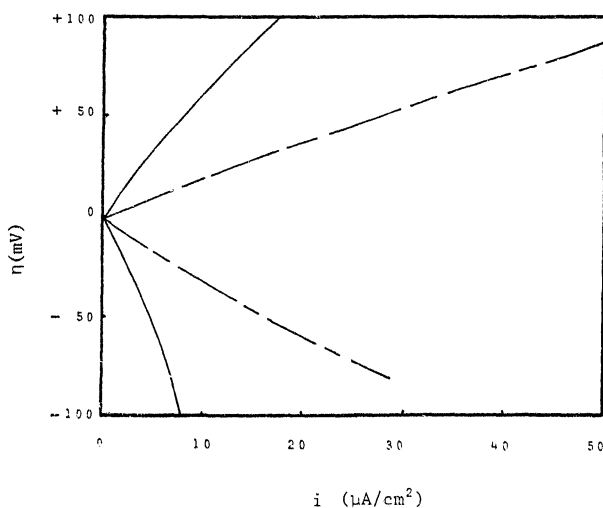
Figuur 5.17 : Fenol

59/...

59.



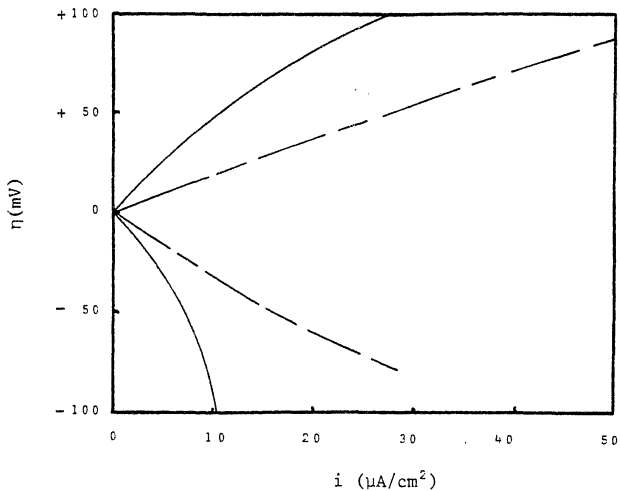
Figuur 5.18 : Aminofenol



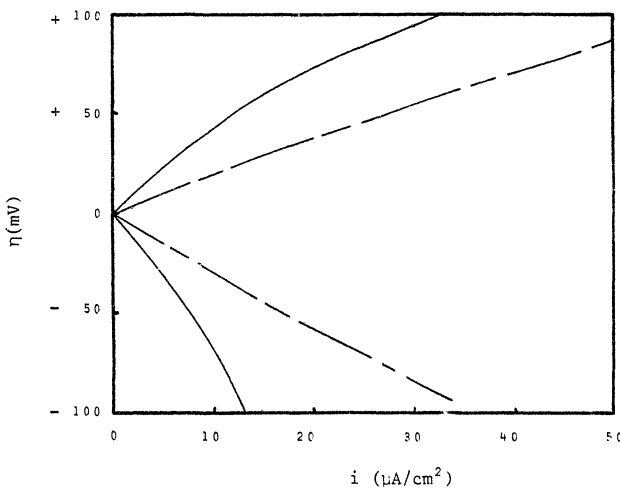
Figuur 5.19 : Etileendiamien

60/...

60.



Figuur 5.20 : Preventol CI-2

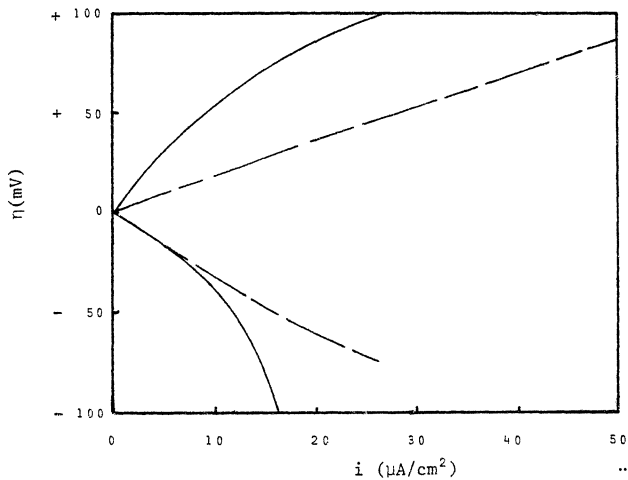


Figuur 5.21 : Hidroquinon

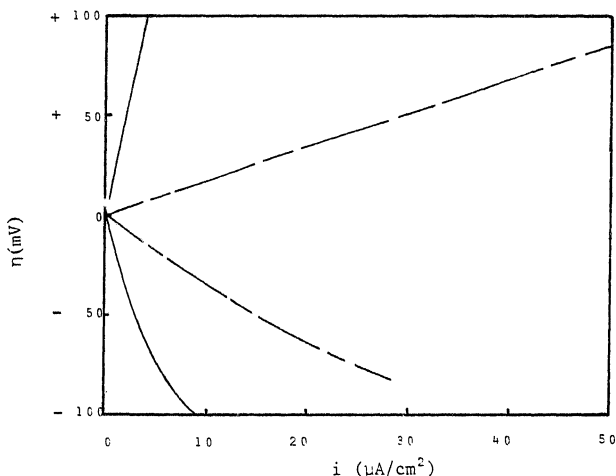
61/...

61.

Die polarisasiekarakteristieke van sisteme wat met katodiese stremmiddels behandel is, word in figure 5.22 - 5.25 getoon.



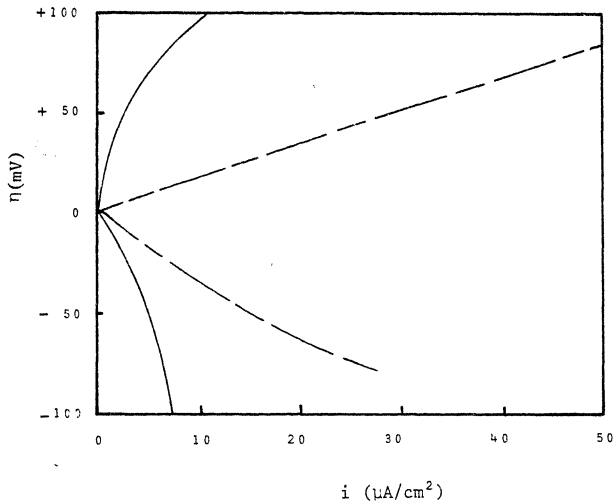
Figuur 5.22 : Preventol CI-6



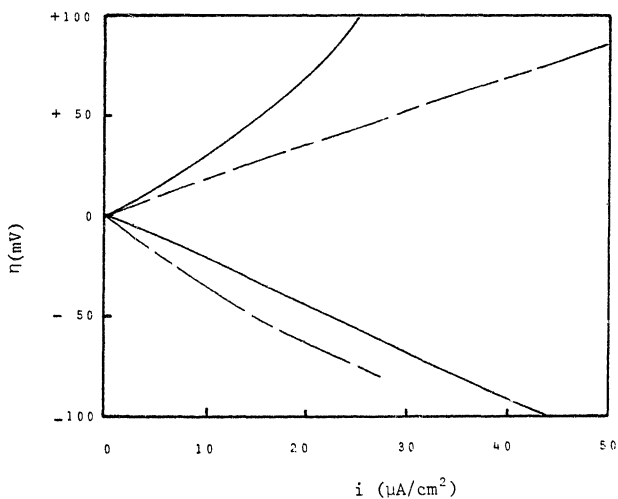
Figuur 5.23 : Preventol CI-4

62/...

62.



Figuur 5.24 : Bensotriasisol



Figuur 5.25 : Natrium-dietielditiokarbonaat

63/...

Massaverliestoetse is gedoen met die stremmiddels wat die beste behoort te vaar. Uit figure 5.15 - 5.25 het bensotriasisol, Preventol CI-4, Preventol CI-2 en n-tributielamien die grootste verskuiwing in polarisasiekrommes na links getoon. In tabel 5.2 word die resultate van die massaverliestoetse met die gekose stremmiddels getoon.

Bensotriasisol en Preventol CI-2 het die korroosietempo van aluminium die meeste beperk, soos blyk uit die resultate van tabel 5.2.

Stremmiddel-konsentrasie	Blanko	n-Tribu=tielamien	PCI-2	PCI-4	Benso=triasol
0 dpm	54				
500 dpm	-	39,5	19	36	27
1000 dpm	-	21	14	35	21

Tabel 5.2 : Massaverliestoetse met stremmiddels (μ mpj)

Die media wat vir bogenoemde massaverliestoetse gebruik was, was gesintetiseer. Alhoewel dit benaderd diezelfde as die praktykoplossing is, is dit raadsaam geag om 'n praktykoplossing te vervaardig vir verdere toetse.

0,5% Water by 25°C is by kommersiële brandstof gevoeg en massaverliestoetse is in die resulterende aqua-fase uitgevoer. Die stremmiddels, Preventol CI-2 en bensotriasisol is in konsentrasies van 1000 dpm tot die aqua-fase toegevoeg. Die toetse met Preventol CI-2

64/...

het korrosietempo's van 18,7 μmpj , bensotriasisol 29 μmpj en die blanco 51 μmpj opgelewer. Hierdie waardes korrelleer goed met die gesintetiseerde media se waardes. (Tabel 5.2)

5.8 Ekstraksievermoë van stremmiddels

In die praktyk sal 'n gesikte stremmiddel by die brandstof gevoeg word. Indien faseskeiding sou plaasvind, moet die stremmiddel in genoegsame hoeveelhede in die aqua-fase kan ekstraheer om voortgesette beskerming in die aggressiewer aqua-medium te kan bied.

Preventol CI-2 is 'n industriële produk en dus nie as 'n enkele komponent identifiseerbaar nie. Die ekstraksievermoë van bensotriasisol en n-tributielamien kon wel met behulp van 'n gaschromatograaf bepaal word. In tabel 5.3 word die konsentrasie van die stremmiddel in die oorspronklike organiese fase vergelyk met die konsentrasie in die resulterende aqua-fase (byvoeging van 0,5% water by 25°C).

Konsentrasie in:	Bensotriasisol	n-Tributielamien
Organiese fase	830 mg/liter	830 mg/liter
Aqua-fase	4900 mg/liter	310 mg/liter

Tabel 5.3 : Ekstraksievermoë van bensotriasisol en n-tributielamien

6. BESPREKING

6.1 Watertoleransie

Die alkohol wat by die petrol gevoeg word, verhoog die watertoleransie van die brandstoffase. In figuur 5.1 word die effek van 'n hoër alkoholinhoud duidelik aangetoon. 'n Bienaardige verskynsel is die laer watertoleransie van hoër alkoholmengsels by lae temperature ($< 0^{\circ}\text{C}$). Dit is in ooreenstemming met die literatuur.¹¹⁾

Etanol is die hoofkomponent van alkoholmengsels.

Etanol en water is oneindig oplosbaar in mekaar; dus ekstraheer die grootste fraksie etanol in die aqua-fase, tydens faseskeiding. Hoër alkohole (C_4 en hoër) ekstraheer in 'n mindere mate, maar verhoog weer die stabiliteit van water in die organiese fase. Dit kan dus bydra om brandstofmengsels se watertoleransie te verhoog.

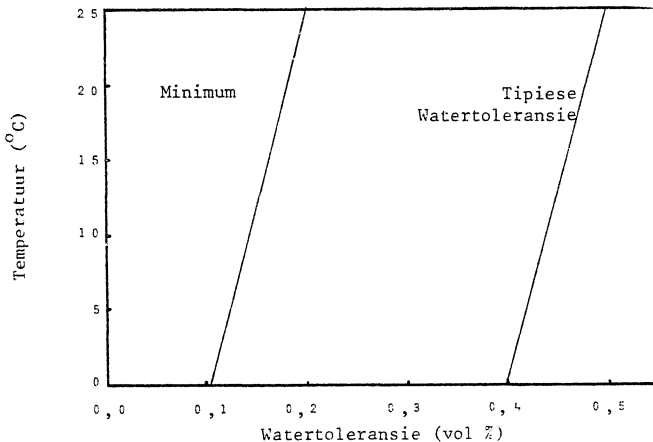
Aromatiese verbindings verhoog ook brandstofmengsels se watertoleransie. Die hoeveelheid aromate in Sasol-petrol is laer as 10% (vol %). Indien hierdie persentasie verhoog word, sal dit brandstofmengsels met hoër watertoleransies lewer.

Potensiële bronne van waterverwoedeling is residuale water in die alkohol. 'n Tipiese waterinhoud van die alkohol wat in kommersiële mengsels bygemeng word, is 0,12% (massa).²⁴⁾ Dit op sigself sal nie onder Suid-Afrikaanse toestande tot faseskeiding aanleiding gee nie. Indien die brandstof nie onder droë toestande

geberg word nie, kan verdere vog vanuit die atmosfeer geabsorbeer word. Stoortenks by motorhawens bevat soms water.¹¹⁾ Al hierdie faktore kan bydra om die waterinhoud van die brandstofmengsels te verhoog. Die temperatuur van 'n motor se vergasser kan onder wintertoestande laag genoeg daal om faseskeiding van geakkumuleerde water mee te bring. Voorsorg teen uitermatige afkoeling moet getref word.

Petrol-alkoholmengsels is slegs in sekere gebiede van die Witwatersrand beskikbaar. Indien brandstofaanvulling buite hierdie area geskied, word die alkohol-petrol verhouding verlaag en soos blyk uit figuur 5.1, word die watertoleransie verlaag.

Kommersiële brandstofmengsels moet egter aan sekere standaarde voldoen. In figuur 6.1 word die minimum en tipiese watertoleransies getoon.



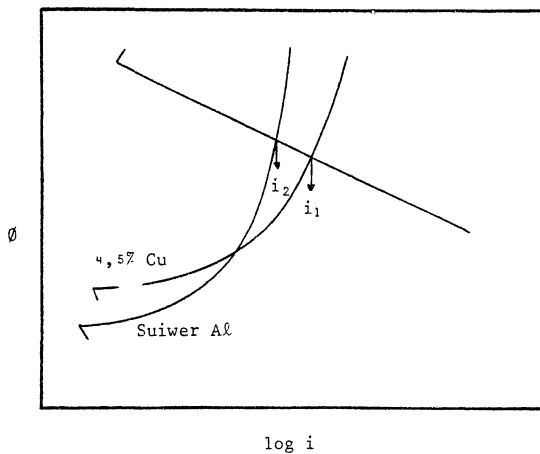
Figuur 6.1 : Watertoleransies en laer limiete van kommersiële brandstofmengsels

6.2 Massaverliestoetse

Massaverliestoetse is gedoen om die korrosiemeganisme te bepaal en kwantitatief te evalueer. Die konstruksie van die vergasser (bylaag 9.4) het hom verleen tot uniforme, gleuf of bimetaal korrosiemeganismes of kombinasies van die drie. Die korrosie van die vergassermateriaal was tot die dele naasliggend aan die geelkoper beperk. Opstellings wat al drie toestande simuleer, is gemaak.

Die uniforme- en gleufkorrosie-opstellings het benaderd dieselfde korrosietempo's getoon. Bimetaalopstellings het hoër korrosietempo's getoon. Geen korrosie is met enige opstelling ondervind, wat aan die organiese fase blootgestel was nie. Die geleidingsvermoë van die organiese fases is baie klein en ionomobiliteit is baie laag. Die temperatuur was 25°C en te laag vir die chemiese reaksie om plaas te vind.

'n Aqua-fase moes dus teenwoordig wees. Selfs in hierdie fase het die korrosie tot dele naasliggend aan die geelkoper, beperk gebly. In bylae 9.5 en 9.7 word foto's getoon. Die byvoeging van iso-butanol verhoog die korrosietempo aansienlik; dit verander die aluminium se anodekarakteristiek. Die bylegering van koper tot die aluminium toon 'n verswakking van die metaal se korrosiebestandheid. Dit kan verklaar word aan die hand van figuur 6.2



Figuur 6.2 : Die invloed van Cu-bylegering op Al

Die koper veredel die metaal en 'n meer elektropositiewe oopselfpotensiaal resulter. Die anodekarakteristiek dui op 'n swakker passiveringsvermoë. Indien die katodiese reaksie aktiveringsbeheerd is (bv H_2 reaksie) is i_1 groter as i_2 .

Die byvoeging om 'n hoë konsentrasie chloried medium te skep veroorsaak 'n dramatiese toename in die korroosietempo. Chloried lei tot 'n verhoging van die medium se di-elektriese konstante (ϵ). Die kragte tussen ione is omgekeerd eweredig aan die di-elektriese konstante ϵ , dit wil sê, hoe groter ϵ , hoe groter is die ionisasievermoë van moleküle. Dit dui ook op 'n groter ionomobiliteit en spesies diffundeer meer geredelik na en van die metaal/medium intervalvlak af.

69.

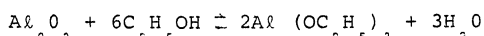
In tabel 6.1 word die di-elektriese konstantes van 'n paar alkohole met die van water vergelyk.

Oplosmiddel	ϵ by 25°C	Suurstof= oplos= baarheid ($p_{\text{O}_2} = 1 \text{ atm}$)	Spesi= fieke geleiding (mhos)	Diffusie= koëfficiënte (cm^2s^{-1}) van H^+
Water	78,5	0,027	0,56	$8,7 \times 10^{-5}$
Metanol	32,6	0,227	0,16	$1,3 \times 10^{-5}$
Etanol	24,3	0,221	0,043	$4,1 \times 10^{-5}$
n-Butanol	17,1	0,193	0,0059	$1,1 \times 10^{-6}$
n-Heksanol	13,3	0,18	0,0014	$4,9 \times 10^{-7}$

Tabel 6.1 : Di-elektriese konstantes en diffusie=koëffisiënte van alkohole en water by 25°C
(Bevat 1NLiCl + 0,01N HCl)

Die tempo waarteen spesies aangesuiwer word, word aansienlik verhoog met hoër chloriedkonsentrasies, omdat ionomobiliteit soveel groter is. Die sekondêre solveringseffek verhoog ook die dissosiasie van die alkohol (protolise) om alkoksiede (gesolveerd) te vorm, wanneer ϵ toeneem.

Die reaksie



verloop dus meer geredelik.

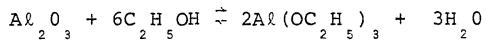
70/...

70.

In ooreenstemming met Bauer et al¹², toon aluminium geen korrosie in die organiese fase nie. Die meganisme is slegs chemies van aard en die reaksie begin eers by 60°C in die teenwoordigheid van 'n katalis (koper of kwikchloried) teen noemenswaardige tempo's verloop. Die aluminium passiveer goed in die organiese medium en die bestandheid is uitstekend.

6.3 Invloed van die hoeveelheid alkohol in die aqua-fase

Die stremmingseffek van water is meer prominent wanneer daar klein hoeveelhede water teenwoordig is. Die korrosietempo daal van 28,5 μmpj vir 100% etanol tot 3 μmpj vir 90% etanol. Aangesien klein hoeveelhede water 'n groot rol in die passivering van die aluminium speel, kan daar oor die bydrae van water wat vorm uit

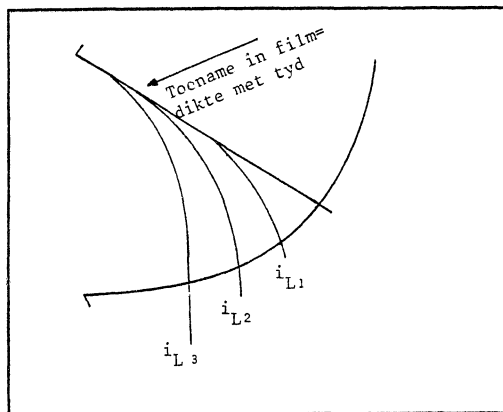


bespiegel word⁵. Indien aluminium in 100% etanol teen 28,5 μmpj reageer, word 8 mg $\text{H}_2\text{O}/\text{cm}^2$ jaar gevorm.

6.4 Tydstudie

Die korrosietempo neem af van 87 μmpj na 51 μmpj . 'n Diffusieskeidingsfilm vorm met die tyd en dien as 'n versperring. In figuur 6.3 word die meganisme verduidelik. ($i_{L_3} < i_{L_2} < i_{L_1}$)

71.



$\log i$

Figuur 6.3 : Invloed van 'n diffusieskeidingsfilm op die korrosietempo

In die praktyksituasie is staanperiodes tipies twaalf tot veertien uur. Wanneer die vergasser in werking is, beweeg brandstof met 'n hoë turbulensie daardeur.

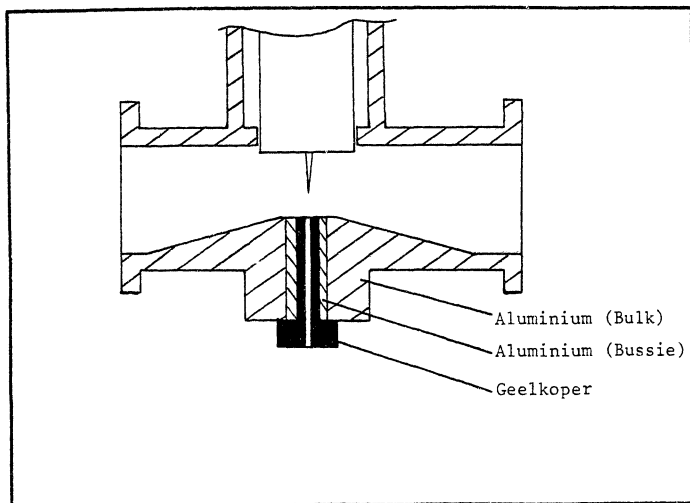
Stroping van die diffusiefilm vind plaas en korrosietempo's is in die orde van 85 - 90 μmpj .

6.5 Korosiemeganisme van die vergasser

'n Deursnee skets van die vergasser word in figuur 6.4 getoon. Die geelkoper en die aluminium is in elektriese kontak. Wanneer die brandstofmengsel in die vergasser watertoleransielimiete oorskry, skei 'n aqua-fase uit. Hierdie fase bedek die geelkoper / aluminium kontak. 'n Elektroliet is dus nou beskikbaar vir 'n elektrochemiese reaksie om plaas te vind.

72/...

72.



Figuur 6.4 : Deursnit van die vergasser

Die suurstof katodiese reaksie vind op die geelkoper- en aluminiumoppervlaktes plaas. Die reaksie op die geelkoper toon geen diffusiebeheer nie en hierdie oppervlak onderhou die katodiese reaksie, terwyl die anodiese reaksie op die aluminium plaasvind. Die aluminium gedeeltes naasliggend aan die geelkoper polariseer meer volledig na die bimetaalkoppel se potensiaal toe en die anodiese reaksie vind hier teen 'n hoër tempo plaas.

Indien die medium gestroop word, raak die katodiese reaksie diffusiebeheerd en laer korrosietempo's resul teer. Wanneer die ontlugte sisteem aangesuur word, word die waterstof reaksie waargeneem.

6.6 Stremmiddels

Stremmiddels kan die anodiese of die katodiese reaksie strem. Soos blyk uit die meganisme, moet 'n stremmiddel wat die katodiese reaksie strem, die geelkoper bedek. Dit sal die suurstof katodiese reaksie en dus ⁱbimetaal verklein. Hoe groter die konsentrasie van die stremmiddel word, hoe meer effektief is die beperking. Daar word egter 'n stadium bereik waar die suurstof reaksie maksimaal beperk word. Daar is egter geen gevaaar in die byvoeging van onvoldoende hoeveelhede nie. Bensotriiasol adsorbeer op die geelkoper en vorm 'n Cu(I)-bensotriiasol kompleks. Dit vorm 'n weerstand vir die suurstofreaksie.

Bensotriiasol is goed oplosbaar in petrol. Dit kan in die brandstofmengsel opgeneem word. Wanneer fase-skeiding plaasvind, ekstraheer dit in genoegsame mate in die aqua-fase om voortgesette beskerming te verleen. 'n Geskikte konsentrasie is 1000 dpm.

Die ander stremmiddel wat gunstige resultate getoon het, was Preventol CI-2. Die produk sal eers in die alkohol opgelos moet word, alvorens dit by die brandstof gevoeg word. In hierdie konsentrasies behoort die stremmiddels nie 'n invloed op die verbrandingsprosesse te hê nie.

7. GEVOLGTREKKINGS

In praktyk sal die probleem voortduur solank as daar faseskeiding plaasvind en dit in kontak kom met die bestaande konstruksiemateriale. Die teenwoordigheid van iso-butanol, chloriede en die elektriese kontak met geelkoper vererger die probleem.

Op hierdie stadium lê die enigste oplossing in die beperking van wateropname deur die brandstofmengsel. Die volgende maatreëls word aan die hand gedoen :

- i) Die gebruik van korrosiebestande vergasser-materiale.
- ii) Die gebruik van teflonbussies om die elektriese kontak tussen aluminium en geelkoper te elimineer. Dit sal egter nie uniforme korrosie uitskakel nie.
- iii) Die byvoeging van hoër alkohole en/of aromate om die brandstofmengsel se watertoleransie te verhoog.
- iv) Die byvoeging van Preventol CI-2 of bensotriiasol.

8. VERWYSINGS

- 1) Fontana, M G, et al; Corrosion Engineering.
McGraw Hill, 1978.
- 2) Shreir, L L, et al; Corrosion. Newness-
Butterworths, 2de uitgawe, 1978.
- 3) Fontana, M G; Advances In Corrosion Science And
Technology. Plenum Press. New York.
- 4) Neufeld, P. Corrosion Science. V12,
p 517-525 (1972).
- 5) Persiantseva, V.P, et al; A Study Of Al
Corrosion And It's Protection With Corrosion
Inhibitors In Neutral Aqueous Ethanol Solutions.
5th European Symposium On Corrosion Inhibitors.
p 529 - 643.
- 6) Hubendick, E. Spiritusmotoren. Klasing & Co,
1930.
- 7) Ullmann's Encyklopädie der Technischen Chemie,
V15, p 91 - 98.
- 8) Cox, F; Proc Of The Third Eur. Symp On Alcohol
Fuels Tech, II-22, Mei 1979.
- 9) Facts About An Alcohol Gasoline Blend, American
Automobile Association, 1930.
- 10) Bridgeman, O; Industrial & Engineering Chemistry.
Mei 1933.
- 11) Keller, J L ; Hydrocarbon Processing. Mei 1979.
- 12) Bauer, O ; Automobil Technische Zeitschrift,
Des 1932.
- 13) Rother, N J ; Corrosion Inhibitor With A Broad
Spectrum Of Effectiveness For Aqueous And
Aqueous Alcoholic Heat Transfer Data.

- 5th European Symposium On Corrosion Inhibitors.
p 989 - 1009.
- 14) Cerisola, G; Corrosion Inhibition Of Copper &
Copper Alloys In Water Solution : Influence
Of Suspended Particles & Pollutants.
5th European Symposium On Corrosion Inhibitors,
p 1011 - 1023.
- 15) Chander, S, et al; Corrosion Science, V19,
p 405 - 416, 1979.
- 16) Chadwick, D; Corrosion Science, V18, p 39 - 51.
1978.
- 17) Talati, J D; Corrosion Science, V19, p 35 - 48.
1979.
- 18) Talati, J D; Corrosion Science, V16, p 603 - 612.
1976.
- 19) Habashi, F; Extractive Metallurgy, V1. Garden &
Breach, New York.
- 20) Tarbonod, F. Corrosion Science, V18. p139 - 149.
1978.
- 21) Salem, T M; Corrosion Science, V18. p363 - 369.
1978.
- 22) Talati, J D; Effect Of Amines On The Cathodic
Protection Of 3S Al In Trichloroacetic Acid.
5th European Symposium On Corrosion Inhibitors.
p 539 - 560.
- 23) Bockris, J O'M; Modern Electrochemistry. V2.
Plenum Press, NY
- 24) SASOL, Persoonlike kommunikasie. Maart 1981.
- 25) Perry, R H; Chilton, C H; Chemical Engineer's

77.

Handbook, 5 ed. McGraw-Hill, Kogakusha Ltd.

26) Farina, C A; Corrosion Science. V18.

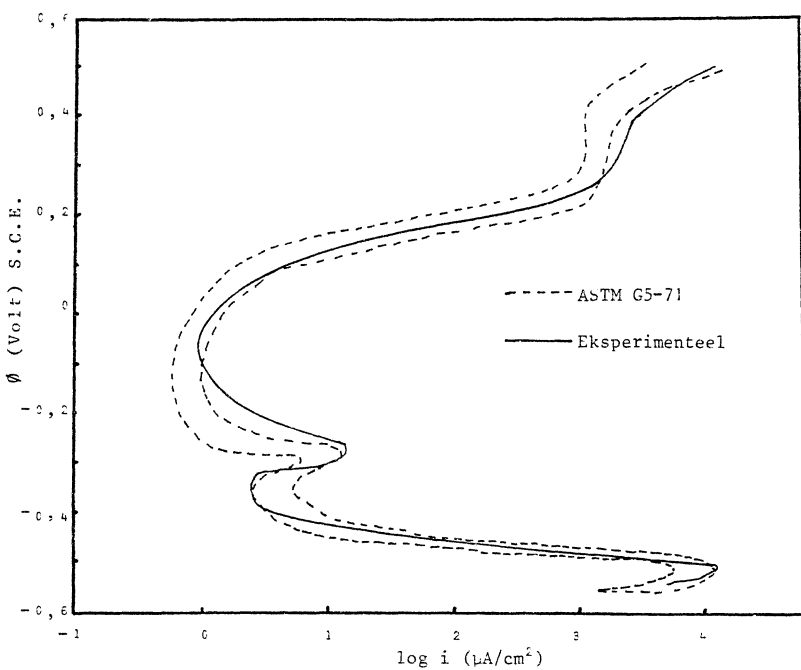
p 465 - 479. 1978.

78/...

BYLAAG 9.1

Standaardisasie van die potensiostaat

'n Standaard werkselektrode van 430 vlekvryestaal, volgens ASTM G5-71 voorskrif is gebruik. 'n Skanderingstempo van 30 mV/min is gebruik. Die resultaat word in figuur 9.1 getoon. Goeie korrelasie is gevind.



Figuur 9.1 : Polariisasiediagram van 430 vlekvryestaal

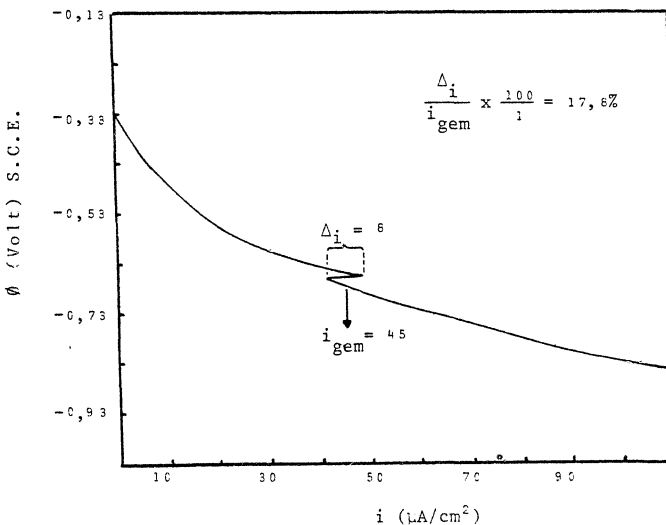
BYLAAG 9.2

Aansuiwering van die medium vir die polarisasieondersoek

Die Krygkor-brandstof se aqua-fase is gesintetiseer. Die opstelling, beskryf in paragraaf 4.3.2 is gedoen. Die polarisasiekromme vir geelkoper is getrek. Die Lugginbuis is 5mm weggeskuif vanaf die werkselektrode en die polarisasiekromme is verder getrek.

Daar is op 5mm besluit om 'n veilige speling te laat vir afwykings van die opstelling (werkselektrode afstand vanaf Lugginbuispunt).

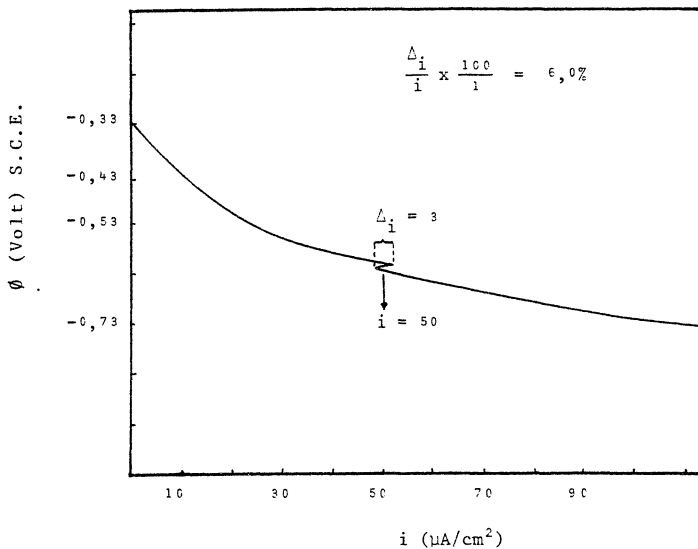
Daar is inkrementele hoeveelhede van 50mg NaCl bygevoeg tot 'n afwyking binne 10% verkry is. In figuur 9.2 en 9.3 word die polarisasiekrommes vir 200mg NaCl/dm³ en 500mg NaCl/dm³ getoon.



Figuur 9.2 : Sensitiwiteit vir 200mg NaCl aangepaste oplossing

80/...

Daar is geen kwantitatiewe korrosietempo's met behulp van die polarisasiediagramme bereken nie; daarom kon NaCl gebruik word. Farina et al²⁶⁾ het LiClO₄ gebruik om die geleidingsvermoë van metanoloplossings te verhoog. Aangesien die identititeit van die katodiese reaksie bepaal moet word, kon geen oksideermiddel bygevoeg word nie.



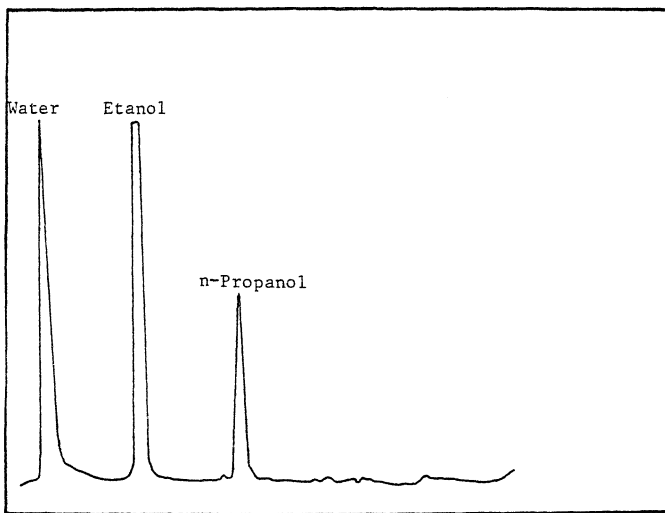
Figuur 9.3 : Sensitiwiteit vir 'n 500mg NaCl aangepaste oplossing.

BYLAAG 9.3

Bepaling van die aqua-fase samestelling met behulp van
'n gaschromatograaf

Die hoofkomponente van die aqua-fase was bekend, naamlik water, etanol en n-propanol. Monsters van hierdie komponente is in die kolom ingespuit, om dit te karakteriseer.

Monsters van die werklike aqua-fase is ingespuit en die pieke in die chromatogram wat met die suiwer monsters ooreenkomm, kon nou geïdentifiseer word. In figuur 9.4 word die chromatogram getoon.



Figuur 9.4 : Chromatogram van aqua-fase

Van Perry²⁵), kan die digtheid van al drie komponente by 25°C verkry word. Die volume samestelling kon nou bereken word as :

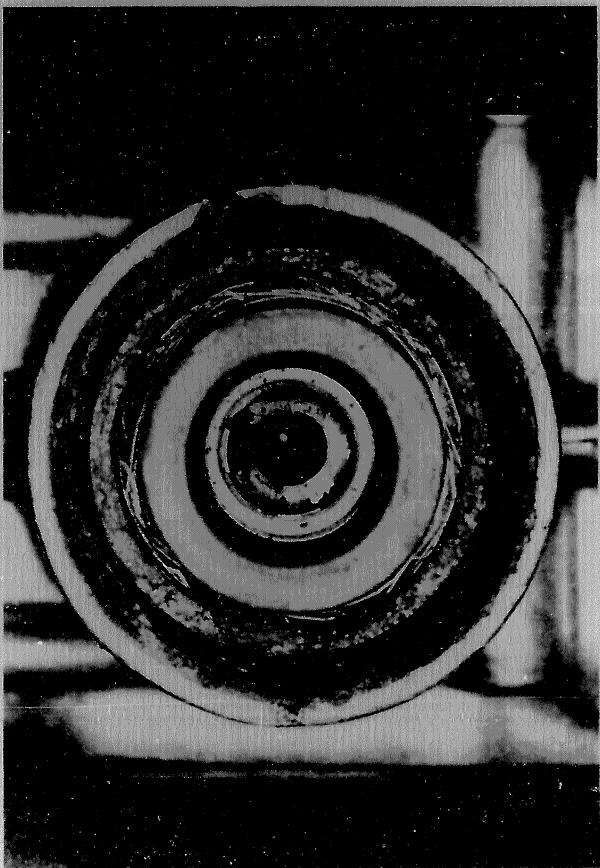
$$\text{Water} : 13\% \qquad \text{n-Propanol} : 24\% \qquad \text{Etanol} : 63\%$$

(Die volume afname tydens vermening is geïgnoreer)

82.

BYLAAG 9.4

Foto van die gekorrodeerde vergasseronderdeel



83 / ...

83.

BYLAAG 9.5

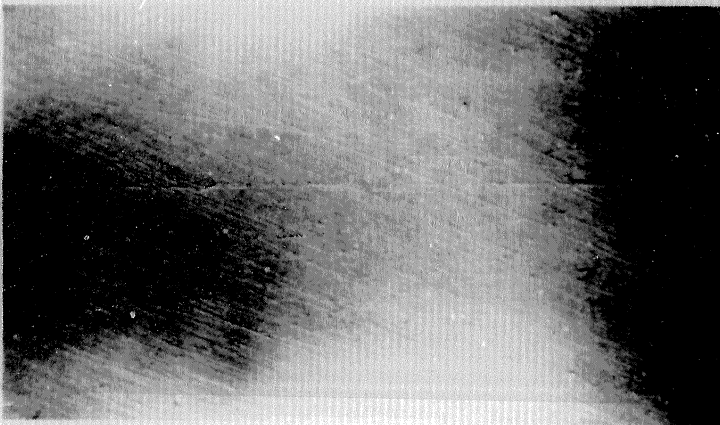


Foto 1 : Aluminium blootgestel aan Krygkor-brandstof
Vergroting - 40 maal.

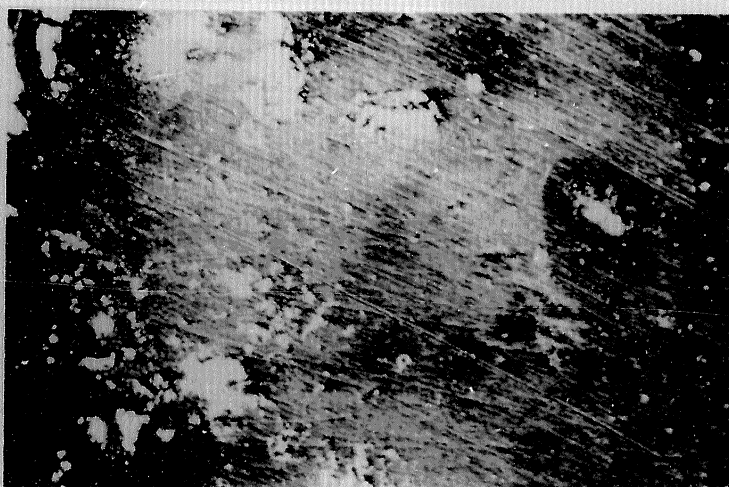


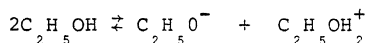
Foto 2 : Aluminium blootgestel aan Krygkor-brandstof
se aqua-fase. Vergroting - 40 maal.

84 / ...

BYLAAG 9.6

Die meting van pH in organiese media

Etanol is amfiproties, dit wil sê :



Die ewewigsvergelykings is

$$K = a_{C_2H_5O^-} \cdot a_{C_2H_5OH_2^+} / a_{C_2H_5OH}^2$$

Indien die etanol se aktiwiteit geneem word as gelyk aan 1,0 volg :

$$K = a_{C_2H_5O^-} \cdot a_{C_2H_5OH_2^+}$$

Analoog waterige oplossings, bly die definisie van pH die selfde.

$$pH = \log (\text{waterstofioon se aktiwiteit})$$

Hierdie aktiwiteit kan egter slegs by benadering gemeet word.

Wanneer twee waterstofelektrodes, via 'n soutbrug verbinding, in kontak is met die organiese medium en 'n bufferoplossing, sal die gemete potensiaalverskil 'n aanduiding wees van die verhouding van die waterstofioon se aktiwiteite. Die resultaat is nie eksak nie, omdat die vloeistof koppelpotensiaal^{2,3)} geignoreer is.

$$E = E_O - \frac{nRT}{F} \log a_{H^+} + \Sigma E$$

$$\Sigma E = \text{Vloeistof koppelpotensiaal}$$

Die ewewigsvergelyking kan ook geskryf word as :

85.

$$\log K = \log a_{C_2H_5OH^-} + \log a_{C_2H_5OH_2^+}$$

In die geval van waterige oplossings, is $-\log K = 14$ en die ewewigspunt (neutrale punt) is :

$$\begin{aligned}\log a_A^+ &= \log a_{OH^-} \\ &= -7\end{aligned}$$

Vir etanol is $-\log K = +19,1$; dus is die natuurale punt 8,55 wat baie naby is aan die gemete waarde van 8,90.

Die konvensionele skaal van pH <7 is suur en vice versa is dus nie vir die sisteem van toepassing nie.

86 / ...

86.

BYLAAG 9.7

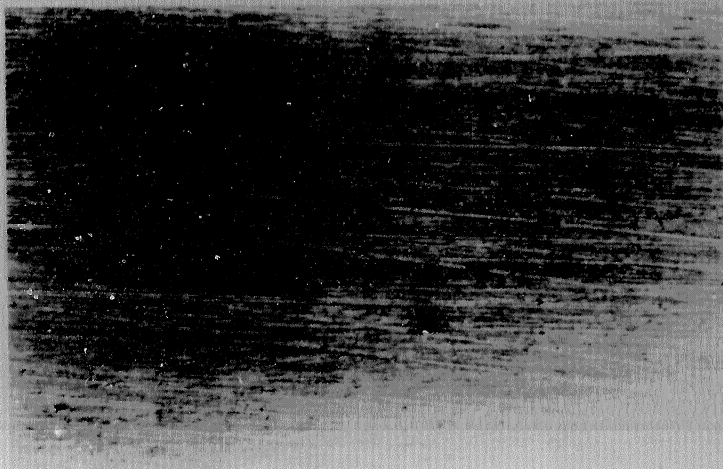


Foto 1 : Geelkoper blootgestel aan etanol-water

Vergroting - 40 maal

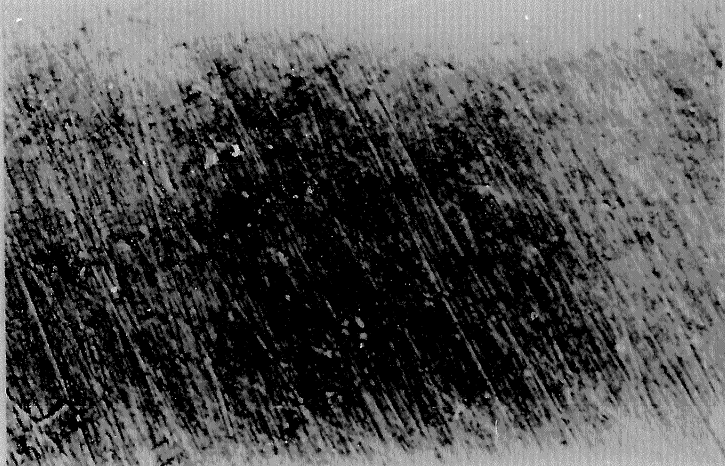


Foto 2 : Geelkoper blootgestel aan etanol-water,

versadig met NaCl. Vergroting - 40 maal.